

对 馬

万 関瀬戸付近潮流観測報告書

第七管区海上保安本部

対馬 万門瀬戸付近潮流観測報告書

第七管区海上保安本部

1 目的

対馬、万門瀬戸は 幅40メートル、水深4.5メートルの狭水道で、通航船舶がふくそうする 潮流の早い瀬戸である。また 付近一帯は、地形が複雑なうえ、航路は狭くかつ曲折しており、船舶にとって航行困難な海域となっている。船舶の航行安全を期すために、同瀬戸及び付近海域における流況のはざを行う。

なお同瀬戸は、昭和49年7月に開発保全航路に指定されている。

2 観測区域

図1に示す海域

3 観測期間

昭和55年7月10日から

昭和55年7月30日まで (21日間)

4 観測班

第七管区海上保安本部水路部

岩永義幸、下平保直、於保正敏

5 使用船

海上保安庁水路部所属	測量船「天洋」	12t
船長 大村幸次	ほか乗組員	15名
第七管区海上保安本部所属	測量船「はやとも」	27t
船長 山本吾朗	ほか乗組員	2名
用船	漁船「米福丸」	4.5t

6 観測法

下表に示す観測項目について、それぞれの機器を使用し 観測を実施した。

観測項目	使用機器名	備考
潮流観測	自記駆流器	小野式流速計
	自記式流向流速計	R C M - 4型 (アンデラー)
	電気流速計	C M - 2型
	その他	駆流浮標追跡
水位観測	水位計	WLR TG-5A型 (アンデラー)

	その他	リボンロッドによる目視観測
採水測温	採水器 温度計	北原式、表面採水バケツ 棒状温度計
	サリノメーター	60 / MK-3型（オートラブ）
透明度	透明度板	セッキー板

7 観測概要及び資料整理

(1) 潮流観測

図／に示す万葉瀬戸付近のA、B、Cの3点（◎印点）において、1/5昼夜連続観測を実施した。測点Aは海面下1/5メートル層を、測点Cは同1/5メートル層を、自記式流向流速計を使用し、測点Bは同1/5メートル層を自記駆流器で観測した。

1/5昼夜連続観測は自記駆流器にて、海面下1/5メートル層、3メートル層の計1/6点で行なった。（図／◎印点）このほか大船越瀬戸において、自記駆流器による1/昼夜連続観測と電気流速計による測流を実施したが、自記駆流器の故障のため1/昼夜の資料が得られず、参考資料として使用するにとどめた。

観測記録は、自記式流向流速計が10分間隔の連続記録（流向、流速、水温、塩分、深度）であり、自記駆流器が流向流速の連続記録である。

自記駆流器の記録から20分ごとの平均流向、流速を読みとり、その値を東方及び北方成分へ変換し、また同様に自記式流向流速計の記録も東方及び北方成分へ変換した値で調和分解を行なった。その結果を表1、2、4に示す。調和分解は海上保安庁本路部の電子計算機を使用した。

1/5昼夜連続観測は7月1/2日から27日まで実施したが、3点のうち測点Bは23日船舶による接触事故にあい、自記駆流器が故障したため1/5昼夜にわたる観測結果が得られず、数昼夜の観測結果として資料整理を行なった。

測点1/5と1/6は同一観測点での小潮期と大潮期の観測であるが、測点1/6の結果を使用し流況のはざを行なった。

観測は、流速計によるほか浮標追跡による観測を4日間にわたりほぼ観測海域全域において実施した。

なお万葉瀬戸での観測（測点1/5、1/6）に際しては、通行船舶の航路障害とならぬよう昼夜ともに見張りを行なった。また大船越瀬戸の観測時も同様の見張りを行ない、通行船量調査も

行なったので、万関瀬戸の結果を図21に示した。

(2) 水位観測

図1の測点A及びCの海底に水位計を設置し、水位観測を実施した。また観測基地とした女護島岸壁において、測量船の停泊中目視による副標観測を30分間隔で実施した。

測点A、Cの両点ともに流速計のシンカーに設置した。

観測は10分間隔の自記記録であるが、移動平均を行なった値で調和分解を実施した。

なお計算は、海上保安庁水路部の電子計算機を使用した。

(3) 採水測温及び透明度観測

図1に示す印の33点において、7月23日に表面と10メートル層で、7月25日に表面と5メートル層で、採水測温観測を実施し、その結果を図9～16に示した。7月24日には、測点C及び5の表面と5メートル層で、日中30分間隔の同時連続観測を実施し、水位と潮流の観測資料をも含め図17、18に示した。

透明度観測は、採水測温観測と同時に実施し、その結果を図19、20に示した。

8 観測結果

(1) 潮流観測

A 恒流

図2に各測点における恒流の分布を示した。この分布図から測点13、14では0.2～0.3ノットを示しており、地形方向の南東流がよくあらわれている。万関瀬戸西口付近では約0.2ノットで、前者同様に地形の影響を受けた北西流が得られた。

黒島付近では浮標追跡の結果、島に添った北北西への流れのみが得られ、ここでは恒流の変化が非常に大きいようである。外海に面していることもあいまって、対馬暖流の影響を受け易いことと考えられる。

図4に測点A、B、Cでの恒流日変化を示したが、測点Aでは西、測点Bではほぼ西、測点Cでは北西から西北西へと3点ともに西流の傾向を示している。

B 四季の潮流、潮汐曲線

図6-1 及び6-2は、巣原の潮汐と測点A、B、Cの潮流を四季の大潮期と小潮期の平均的状態として示したものである。

ここで春(秋)季とは、春(秋)分の前後を、夏(冬)季とは、夏(冬)至の前後をいい、図では春季及び夏季は上段の時刻を、秋季及び冬季は下段の時刻で示してある。

C 一般的流況

各測点における潮型を、調和定数の日周潮流と半日周潮流の比であらわすと、図3の上段に示す値となる。この値が0.5より小さければ半日周潮流が強く、/より大きくなると日周潮流が強いことを示す。

観測海域では、この値が0.25~1.64と幅広い範囲にまたがっており、非常に複雑な潮型を示している。このことからこの海域の流況を一義的に決めるることは困難である。

一般に潮流は半日周潮流が強く、半日周潮流の流向、流速で示すことが多いが、この海域のように日周潮流が卓越している場合、流況をは握するうえで、後者を無視するわけにはいかない。

以上のことからこの報告では、大潮期における/時間毎の流況を図7の1~24に示した。潮時の基準は、長年観測が続けられている巣原の潮汐を使用してあらわしてある。

図7の流況図から区域ごとの特徴がうかがえるので、各区域についての流況を以下にまとめた。

(ア) 万葉瀬戸付近

万葉瀬戸では半日周潮流を示しており、最強流時には流速4ノットに達するが、久須保浦ではほとんど流れがない。

女護島岸壁付近は、東流の際反時計まわりの環流を形成する。同岸壁の東方へ新しく防波堤が整備されており、影響が大きいものと思われる。

同瀬戸西口付近では流速が1ノットに達している。

全般に地形の向きと同方向の流向を示している。

(イ) 島山島西方付近

測点13、14付近は、25時間の観測中20時間が南東流となり、北西流はわずか4~5時間にすぎず、流況に不等が生じている。南東流の最大流速はほぼ0.6ノットに達し、北西流は、巣原の潮汐の低い高潮の3時間後から低い低潮の1時間後の

間で生じ、最大流速は0.1～0.2ノット程度である。

(ウ) 竹敷及び黒崎島付近

竹敷沖は流れが弱く（最大0.15ノット）かつ流況が反時計まわりの弱い環流を形成する。

黒崎島付近（測点9～11）は、観測海域中最も流れが弱く、0.1ノットを越えることがない。

(エ) 三浦湾

黒島付近は、島の西側に添って北上する流れがあり、その後黒島北部に連なる小さな島の間を抜け東部へ流去しており、測点2付近では南下流がほとんど見られない。

測点1付近は直接外海に接しており、海流の影響を受けるものと思われる。

以上一般的な流況について記したが、各測点の流況が複雑であり、浮標追跡による観測結果からも浮標が入江へ流入するなど、地形による影響を受けた流れが多く存在している。

なお大船越瀬戸は、充分な資料がなく流況図には示さなかつたが、電気流速計と自記駆流器の観測結果では、外海に面した瀬戸入口で最大3ノット、大船越橋下で最大1.5ノットの観測値を得た。

(2) 水位観測

万葉瀬戸における潮汐と潮流との関係を調べるために、同瀬戸の両側（測点A、C）に水位計を設置し水位観測を実施した。その記録を図8に、表3に巖原駆潮所とA、C両点で得られた調和定数を、図6の3、4に四季の潮汐曲線を、それぞれ示した。

A、C両点の相違は、表3から潮時でC点が約15分遅れ、潮差が主要四分潮（ $M_2 + S_2 + K_1 + O_1$ ）で30センチメートルC点が大きいことがわかる。

一般に二つの海面を結ぶ狭い水道において、潮流は両海面の水位差によって生じ（半継潮流）、その水位差をHとするとき、トリシェリーの定理から

$$V = C \cdot \sqrt{2G} H \quad \cdots \cdots \quad ①$$

で表わされる。Cは常数で0から1の間にある。

測点16の潮流調和定数と測点A、Cの潮汐調和定数による式①

の相関は、平均流、最大流とともに係数 C が 0.8 であった。

(3) 彩水測温

図 9～16 に 水温と塩分の水平分布図を示す。

観測実施時が小潮期であり、大潮期には海況が多少異なるかもわからぬが、結果は次のとおりであった。

図 9～10 から表面水は、万関瀬戸を境として、東側で水温約 24 °C、塩分約 33‰、西側で水温約 26 °C、塩分約 32.4‰ であった。その差は水温で 2 °C、塩分で 0.6‰ 生じている。また万関瀬戸西口から西方へ 高密度水の張り出しがあり、東側の水が西方へ進入していることがうかがえる。

図 11～12 の 10 メートル層においても表面同様 瀬戸西口から西方へ高密度水があらわれている。

瀬戸の水深が約 5 メートルであることから、この高密度水が東側海域の水であるかは これだけでは断定できないが、表面と全く同形の分布を示していることから、東側からの進入水と考えられる。同様に 図 9～12 から万関瀬戸西口より大船越瀬戸へかけての水路内で、水温、塩分ともに差があり、東側海域の水がこの水路においても有勢といえる。しかしこの高密度水は、この水路の北部域までは影響を及ぼしているものの、大部分は西方へ進むものと考えられる。

図 13～16 から、表面と 5 メートル層では、水温、塩分ともにほとんど差が認められることから、同一系水といえる。

以上のことから 観測海域の海況は、万関瀬戸を境として、東西の水質が はっきりと異なっている。すなわち 西側海域は低密度水、東側海域は高密度水と水塊が区別でき、西側海域は、高温、低塩分の この時期特有と思われる固有水を形成していると考えられる。また上下層間では 5 メートルと 10 メートルの間に やく層が存在していた。

図中の破線は、巣原の潮汐の低潮を基準として、観測実施時間との差を、数字を添え時間単位で示した。

なお 23 日と 25 日の表面水温観測で、25 日の観測値が約 0.5 °C 高いが、外海においても昇温期にあたっていたことと よく対応していた。

(4) 水位、潮流、水温、塩分の日変化

定点（測点5、C）における30分毎の連続観測結果を、図17～18に示した。このうち図17の潮流速は測点Aの値を、水位については女護島岸壁で実施した副標観測値で示した。

図18の結果から、C点は水位が最低の時 潮流速が最高となる半継潮流を示しており、万関瀬戸と同様な流況を示している。

また水温の下降と塩分の上昇が、低潮約2時間前に生じており、それまでこの付近を支配していた低密度水から 高密度水へと、海水の交換が行なわれている。すなわち東側海域の高密度水の進入であり、潮流は西流であることがわかる。

このほか 5メートル層の採水測温や透明度観測も実施したが、表面との大きな相違がみられなかった。

(5) 透明度観測

7月23日までは断続的な雨であったが、24、25日は好天に恵まれ、観測も順調に実施できた。

図19～20のとおり 三浦湾口で約8メートルの大きな差を観測したが、これは8-(1)-A、8-(1)-C-(エ)の項でも記したように、外海水の影響を受けている。すなわち透明度の悪い沿岸水と、良い外洋水との間で 海水交換がなされたためである。

24日の観測結果で、測点5、Cの値が 23、25日の観測値とほとんど差がなかったことからも明らかであった。

(6) 万関瀬戸通航船量調査

万関瀬戸を利用する船舶量の調査結果を図21に示す。

東、西航船ともに ほぼ同数であり、そのうちの夜間は、国船（図中グラフの上に（ ）を付した数）の占めているのが特徴的である。これは同瀬戸が、日本と 国の中間地点にあたり、利用船舶にとって 最短距離を運航する経済コースとなっていることを示すと思われる。

9 まとめ

対馬はもともと一つの島であったが、その昔 島の中央に位置し かつ 最狭部であった大船越と久須保に、人工の水路がつくられた。近年になって、船舶の増加や大型化にともない、整備拡張が実施され、現在の大船越瀬戸と万関瀬戸となった。この瀬戸の概略を図22に示した。

この両瀬戸は、対馬の東、西岸相互の漁業及び海上交通の要路となっている。しかし付近一帯は地形が複雑で、船舶からの見通しが悪く、通航船舶にとって困難な航路である。そのうえ両瀬戸ともに潮の流れが早く、瀬戸及び瀬戸近くでは潮流により船舶が圧流を受けるなど、危険が重なっており、船舶の航行安全を期すために当海域の観測を実施した。

今観測の結果、潮流は、万関瀬戸で約4ノット、大船越で約3ノットであったが、付近一帯の海域は、流れが弱く1ノットを越すことがない。しかし流況は、地形同様複雑な流れを示していた。

万関瀬戸では、その両口で水位の観測もあわせ行ない、半継潮流をは握するとともに、①式による潮流と水位との相関について調査した。その結果、①式の相関係数 C は約 0.8 でよい一致をみた。

このほか採水測温等の観測を実施したが海域全般の海況は、万関瀬戸を境として、東西海域で異なっていることがわかった。その結果 潮流によって動く海水の動向をとらえることができ、流況をは握するうえでよい指標となった。

今後はより詳細な海況、流況をは握るために、四季を通じての観測や、対馬東水道、西水道にわたる広域の総合調査が必要と思われる。

なお昭和27年当庁にて、拡張前の万関瀬戸の潮流観測を実施し、水路要報臨時増刊 / 0号で報告している。

10 おわりに

この観測を実施するにあたり、測量船「天洋」、厳原海上保安部、漁船「米福丸」、三浦湾漁業協同組合をはじめ 近在の漁業協同組合の御協力をいただいた。ここに感謝の意を表します。

(4) 水位、潮流、水温、塩分の日変化

定点（測点5、C）における30分毎の連続観測結果を、図17～18に示した。このうち図17の潮流速は測点Aの値を、水位については女護島岸壁で実施した副標観測値で示した。

図18の結果から、C点は水位が最低の時 潮流速が最高となる半継潮流を示しており、万関瀬戸と同様な流況を示している。

また水温の下降と塩分の上昇が、低潮約2時間前に生じており、それまでこの付近を支配していた低密度水から 高密度水へと、海水の交換が行なわれている。すなわち東側海域の高密度水の進入であり、潮流は西流であることがわかる。

このほか 5メートル層の採水測温や透明度観測も実施したが、表面との大きな相違がみられなかった。

(5) 透明度観測

7月23日までは断続的な雨であったが、24、25日は好天に恵まれ、観測も順調に実施できた。

図19～20のとおり 三浦湾口で約8メートルの大きな差を観測したが、これは8-(1)-A、8-(1)-C-(エ)の項でも記したように、外海水の影響を受けている。すなわち透明度の悪い沿岸水と、良い外洋水との間で 海水交換がなされたためである。

24日の観測結果で、測点5、Cの値が 23、25日の観測値とほとんど差がなかったことからも明らかであった。

(6) 万関瀬戸通航船量調査

万関瀬戸を利用する船舶量の調査結果を図21に示す。

東、西航船ともに ほぼ同数であり、そのうちの夜間は、国船（図中グラフの上に（ ）を付した数）の占めているのが特徴的である。これは同瀬戸が、日本と 国の中間地点にあたり、利用船舶にとって 最短距離を運航する経済コースとなっていることを示すと思われる。

9 まとめ

対馬はもともと一つの島であったが、その昔 島の中央に位置し かつ最狭部であった大船越と久須保に、人工の水路がつくられた。近年になって、船舶の増加や大型化にともない、整備拡張が実施され、現在の大船越瀬戸と万関瀬戸となった。この瀬戸の概略を図22に示した。

この両瀬戸は、対馬の東、西岸相互の漁業及び海上交通の要路となっている。しかし付近一帯は地形が複雑で、船舶からの見通しが悪く、通航船舶にとって困難な航路である。そのうえ両瀬戸ともに潮の流れが早く、瀬戸及び瀬戸近くでは潮流により船舶が圧流を受けるなど、危険が重なっており、船舶の航行安全を期すために当海域の観測を実施した。

今観測の結果、潮流は、万関瀬戸で約4ノット、大船越で約3ノットであったが、付近一帯の海域は、流れが弱く1ノットを越すことがない。しかし流況は、地形同様複雑な流れを示していた。

万関瀬戸では、その両口で水位の観測もあわせ行ない、半綫潮流をは握するとともに、①式による潮流と水位との相関について調査した。その結果、①式の相関係数 C は約0.8でよい一致をみた。

このほか採水測温等の観測を実施したが海域全般の海況は、万関瀬戸を境として、東西海域で異なっていることがわかった。その結果 潮流によって動く海水の動向をとらえることができ、流況をは握するうえでよい指標となった。

今後はより詳細な海況、流況をは握るために、四季を通じての観測や、対馬東水道、西水道にわたる広域の総合調査が必要と思われる。

なお昭和27年当庁にて、拡張前の万関瀬戸の潮流観測を実施し、水路要報臨時増刊10号で報告している。

10 おわりに

この観測を実施するにあたり、測量船「天洋」、厳原海上保安部、漁船「米福丸」、三浦湾漁業協同組合をはじめ 近在の漁業協同組合の御協力をいただいた。ここに感謝の意を表します。

図一

潮流観測測点図

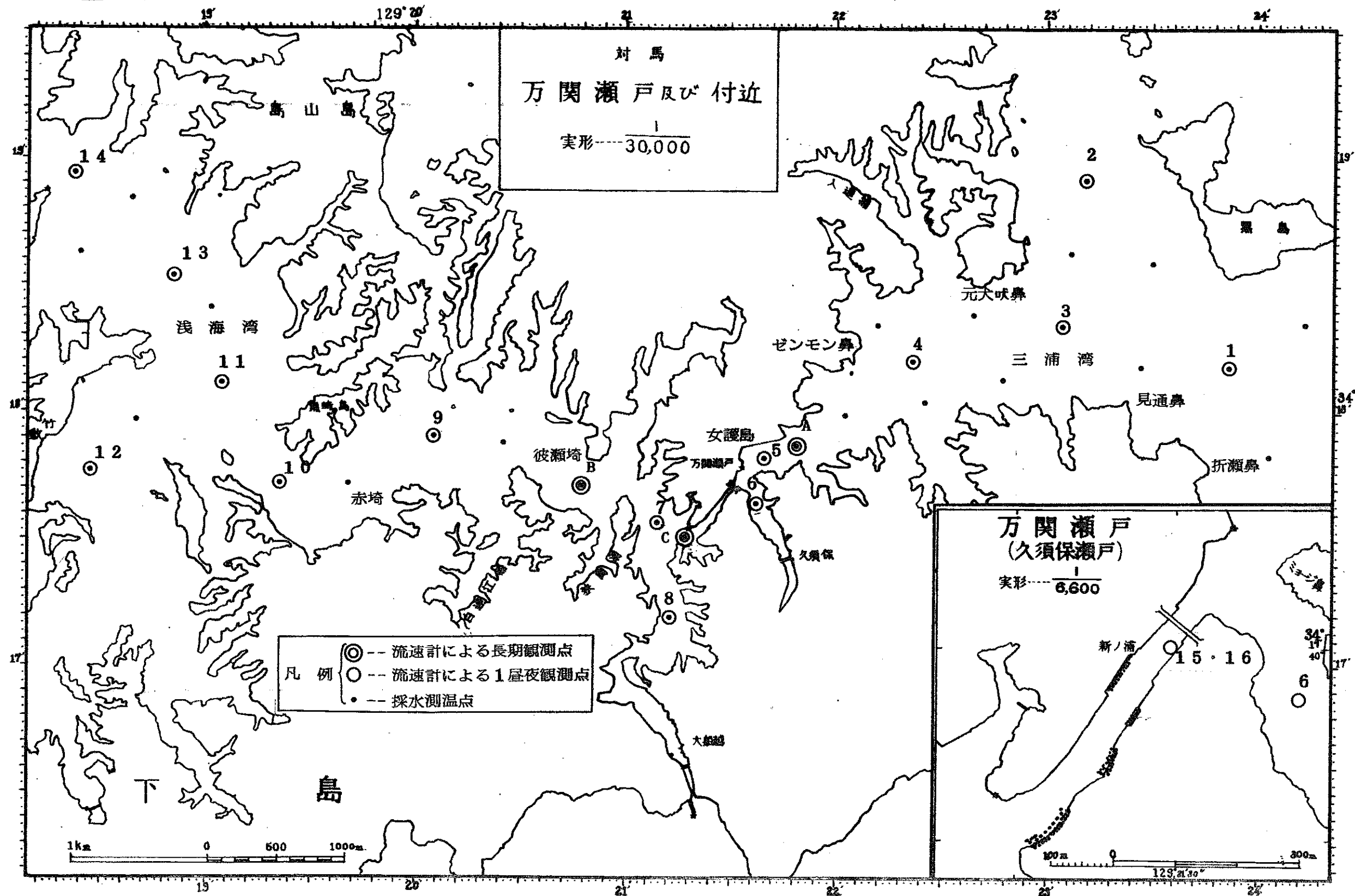


表-1

測 点 : A
 資 料 番 号 : 480330
 位 置 : { 北緯 34°17'52"
 { 東經 129°21'54"

15昼夜潮流調和分解成率

観測期間 自:昭和55年7月12日
至:昭和55年7月27日

観測層 面下 5m
流向 向 磁針方位

分潮期	S_0	M_2	S_2	K_2	N_2	K_1	O_1	P_1	Q_1	M_4	MS_4	恒流
北方	V	-0.0002m	0.013m	0.008m	0.002m	0.012m	0.006m	0.010m	0.002m	0.005m	0.008m	0.010m 方向
分 速	K	—	163°	138°	42°	333°	224°	333°	347°	318°	30°	268°
東 方	V	-0.057	0.179	0.089	0.024	0.068	0.037	0.031	0.012	0.013	0.016	0.021 流速
分 速	K	—	252	292	292	190	132	190	99	162	218	0.057m
主 方 向	V	-0.056	0.179	0.089	0.024	0.069	0.037	0.031	0.012	0.013	0.017	0.021 —
92°	K	—	252	292	292	190	131	190	99	162	218	—

測 点 : C
 資 料 番 号 : 480332
 位 置 : { 北緯 34°17'30"
 { 東經 129°21'09"

観測期間 面下 5m
流向 向 磁針方位

分潮期	S_0	M_2	S_2	K_2	N_2	K_1	O_1	P_1	Q_1	M_4	MS_4	恒流
北方	V	0.084m	0.183m	0.042m	0.012m	0.022m	0.058m	0.038m	0.019m	0.027m	0.037m	0.011m 方向
分 速	K	—	107°	131°	230°	40°	34°	40°	172°	217°	263°	295°
東 方	V	-0.184	0.565	0.157	0.043	0.057	0.170	0.172	0.056	0.059	0.051	0.021 流速
分 速	K	—	277	313	313	290	211	178	211	158	15	0.0202m
主 方 向	V	0.200	0.592	0.162	0.044	0.052	0.180	0.174	0.060	0.050	0.059	0.023 —
286°	K	—	97	133	133	116	31	0	31	335	199	249

表-2

數 值 潮 流 調 和 分 解 成 果

測 点番号：B
 資 料 号：480331
 位 置：{ 北緯 34°17'43"
 東經 129°20'48"

觀測層 高度：海面下5m
 方位：磁針方位
 流向：自：昭和55年7月12日
 至：昭和55年7月23日

分潮	S_0	M_2	S_2	K_2	K_1	O_1	P_1	M_4	MS_4	恒流
北方	V	0.001km	0.08km	0.040km	0.011km	0.036km	0.019km	0.012km	0.004km	0.011km
分 壓	K	—	91°	81°	28°	41	28°	179°	346°	271°
東 方	V	-0.053	0.95	0.053	0.014	0.077	0.059	0.026	0.029	0.016
分 遠	K	—	287	280	280	225	241	225	38	115
主 方 向。	V	0.048	0.221	0.064	0.018	0.085	0.061	0.028	0.027	0.017
297	K	—	104	95	95	42	59	42	216	308

表-3

潮汐調和定數表

測点：敵原

位置：{ 北緯 34°17'43"
 東經 129°17'37"

記号	M_2	S_2	K_2	N_2	K_1	O_1	P_1	Q_1	M_4	MS_4
H	0.534 [■]	0.253	0.070	0.098	0.082	0.051	0.028	0.013	0.012	0.013
K	252.2°	279.3	270.7	247.4	206.4	203.8	203.3	192.5	184.6	220.6

表-3

測 点 : A
位 置 : { 北緯 34° 17' 52"
 { 東經 129° 21' 54"

記 号	M ₂	S ₂	K ₂	N ₂	K ₁	O ₁	P ₁	Q ₁	M ₄	MS ₄
H	0.468 _{III}	0.214	0.058	0.087	0.064	0.060	0.021	0.007	0.006	0.006
K	250.9°	280.0	280.0	247.9	210.1	206.9	210.1	172.3	191.3	317.0

觀測期間 自:昭和55年7月12日
 至:昭和55年7月27日
測 点 : C
位 置 : { 北緯 34° 17' 30"
 { 東經 129° 21' 09"

記 号	M ₂	S ₂	K ₂	N ₂	K ₁	O ₁	P ₁	Q ₁	M ₄	MS ₄
H	0.625 _{III}	0.275	0.075	0.115	0.110	0.095	0.037	0.017	0.007	0.007
K	255.6°	283.9	283.9	247.2	212.0	195.5	212.0	162.3	231.6	336.5

表-4

昼夜潮流和分解放成果

— 横円の長軸
S — 横円の短軸

観測層：海面下5m (測点15, 16は海面下3m)
流向：尾針方位

測点番号	位置	観測日	月齢	軸	1日周潮流			1/2日周潮流			1/4日周潮流			恒流		
					太陰赤緯	方向	流速時間	方向	流速時間	方向	流速時間	方向	流速	方向	流速	
1	34°18' N 129°23' E	7月25日~13日	29.1~0.7	L	56°	0.270°	7.6°	23°	0.319°	8.9°	59°	0.180°	3.7°	115°	0.105°	
2	34°18' 55N 129°23' 0E	N19°34'~N18°31'	S	146	0.064	13.6	11.3	0.032	11.9	14.9	0.050	5.2				
3	34°18' 20N 129°23' 04E	N19°34'~N18°31'	S	25	0.018	22.2	7.2	0.052	7.1	8.3	0.009	0.9	54	0.096		
4	34°18' 2N 129°22' 22E	7月12日~13日	29.1~0.7	L	53	0.146	12.5	7.7	0.194	11.8	29	0.035	2.1	155	0.108	
5	34°17' 49N 129°21' 39E	7月25日~26日	12.7~13.7	L	74	0.088	7.8	27	0.182	9.3	277	0.096	4.1	291	0.115	
6	34°17' 39N 129°21' 37E	7月25日~26日	12.7~13.7	L	25	0.008	21.7	7.7	0.007	3.9	45	0.004	1.0	266	0.005	
7	34°17' 35N 129°21' 10E	7月11日~S19°40'	S	164	0.006	3.8	1.7	0.007	6.3	7	0.052	2.6				
8	34°17' 12N 129°21' 2E	7月25日~26日	12.7~13.7	L	82	0.041	20.4	72	0.006	6.4	53	0.025	2.5	358	0.222	
9	34°17' 54N 129°20' 06E	7月13日~14日	0.8~1.8	L	83	0.019	18.3	90	0.028	8.9	296	0.011	0.4	76	0.009	
10	34°17' 43N 129°21' 92E	7月13日~14日	0.8~1.8	L	173	0.002	0.3	180	0.009	1.9	26	0.007	1.9			
														57	0.010	

測点 番号	位 置	着見測日		月齢		1日周潮流		1/2日周潮流		1/4日周潮流		恒流	
		太陰亦津	東	方向	流速	時間	方向	流速	時間	方向	流速	時間	方向
1 1	34°18'07"N 129°19'06"E	昭和55年7月13日~14日	N 08°22'~N 16°20'	S	98	0.046 ^m	9.8	2	0.044 ^m	2.2	35.9	0.027	5.1
1 2	34°17'46"N 129°18'28"E	7月14日~15日	1.8~2.8	L	60	0.052	12.8	86	0.034	5.8	58	0.041	2.9
1 3	34°18'32"N 129°18'50"E	7月14日~15日	1.8~2.8	L	324	0.177	23.6	326	0.222	1.8	270	0.055	5.8
1 4	34°18'55"N 129°18'23"E	7月14日~15日	1.8~2.8	L	313	0.160	1.0	308	0.221	1.1	325	0.047	1.4
1 5	34°17'42"N 129°21'31"E	7月19日~20日	6.7~7.7	L	43	0.360	9.6	43	2.095	8.5	64	0.091	1.7
1 6	34°17'42"N 129°21'31"E	7月26日~27日	13.8~14.7	L	47	0.820	1.5	47	2.743	9.8	333	0.202	1.2
											63	0.061	2.7
												0.098	1.31

図-2

恒流の分布

海面下: 3~5 m
単位: ノット

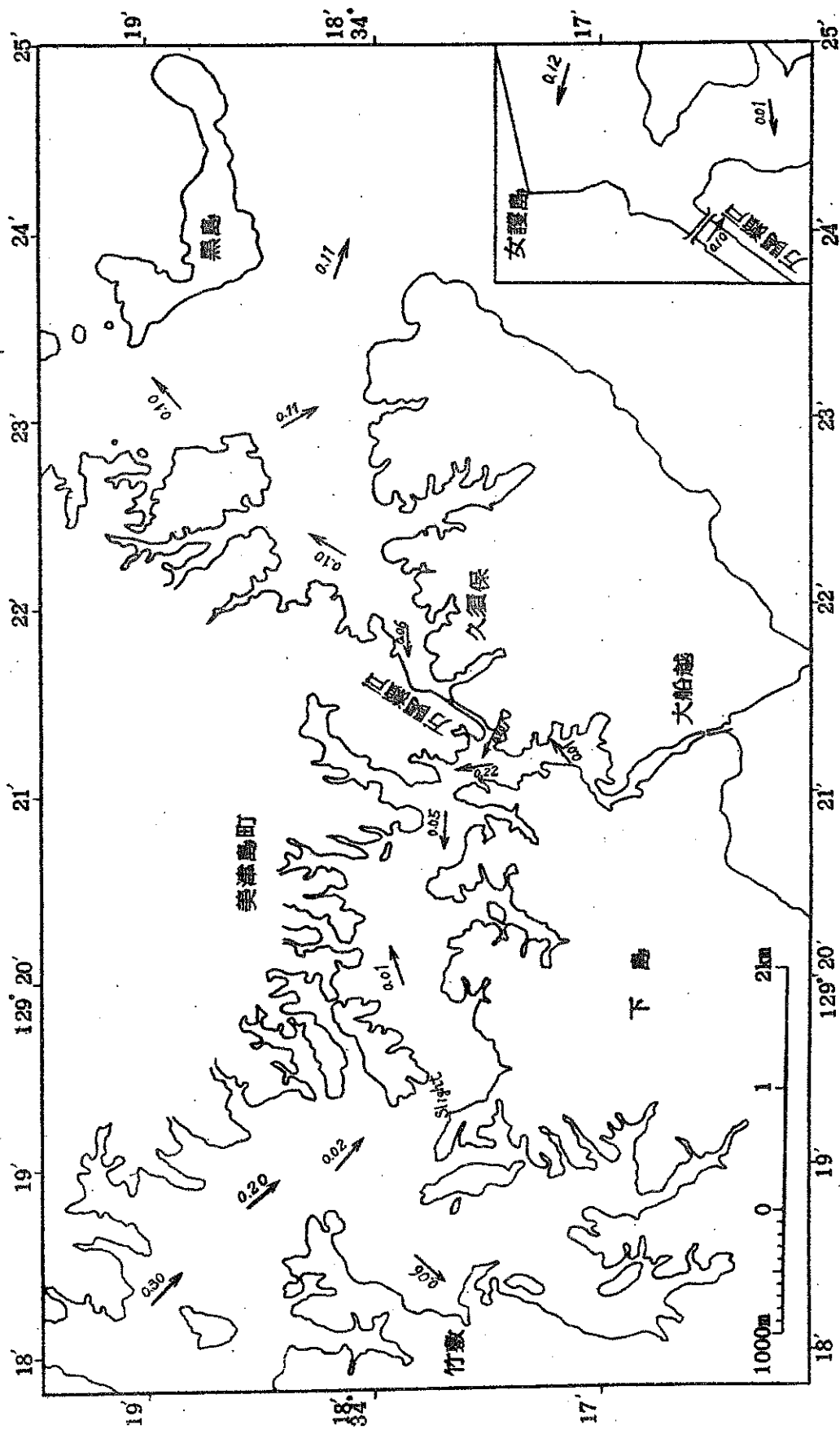


図-3

潮型及び小潮期流速減衰比

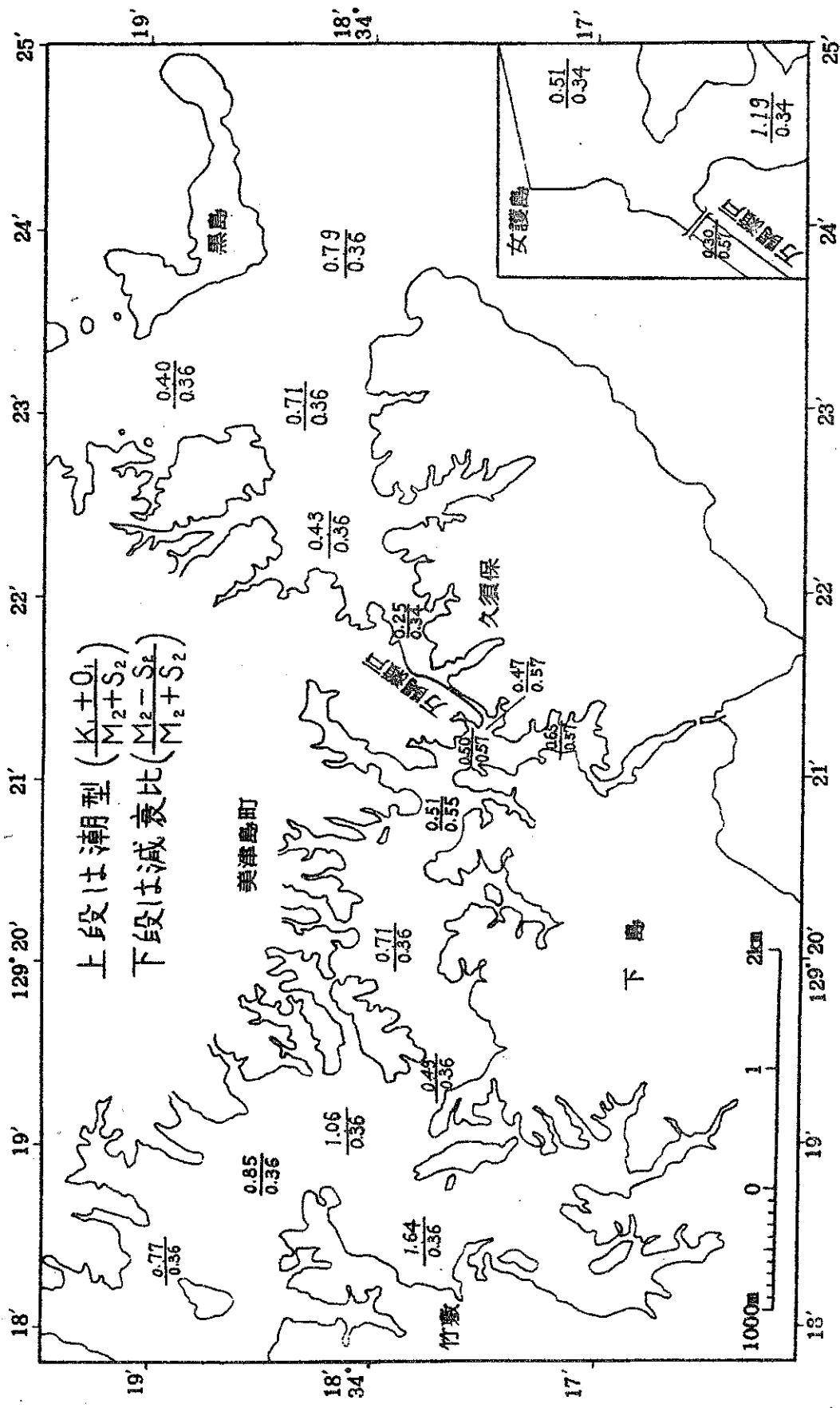
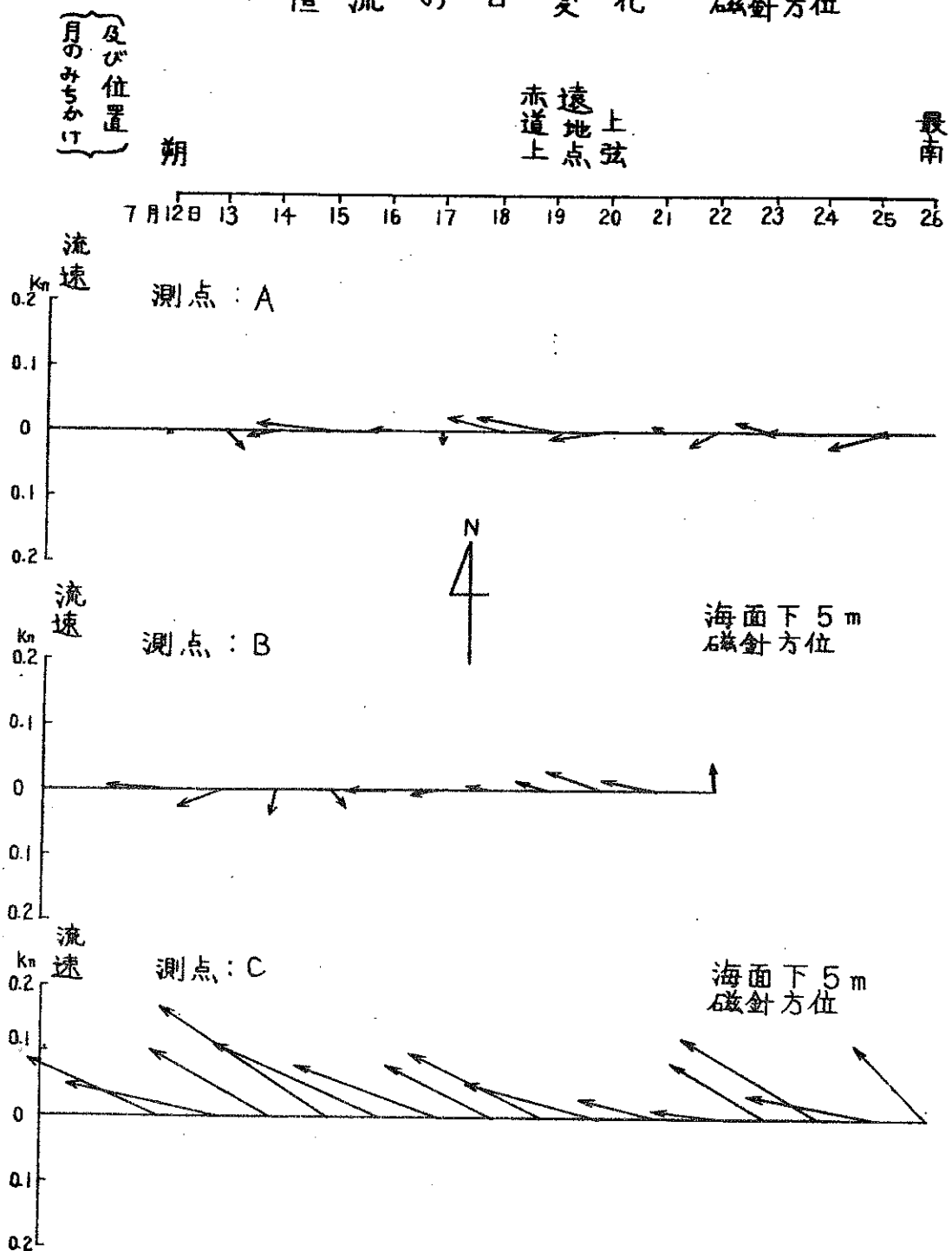


図-4

恒流の日変化

海面下15m
磁針方位



5
—

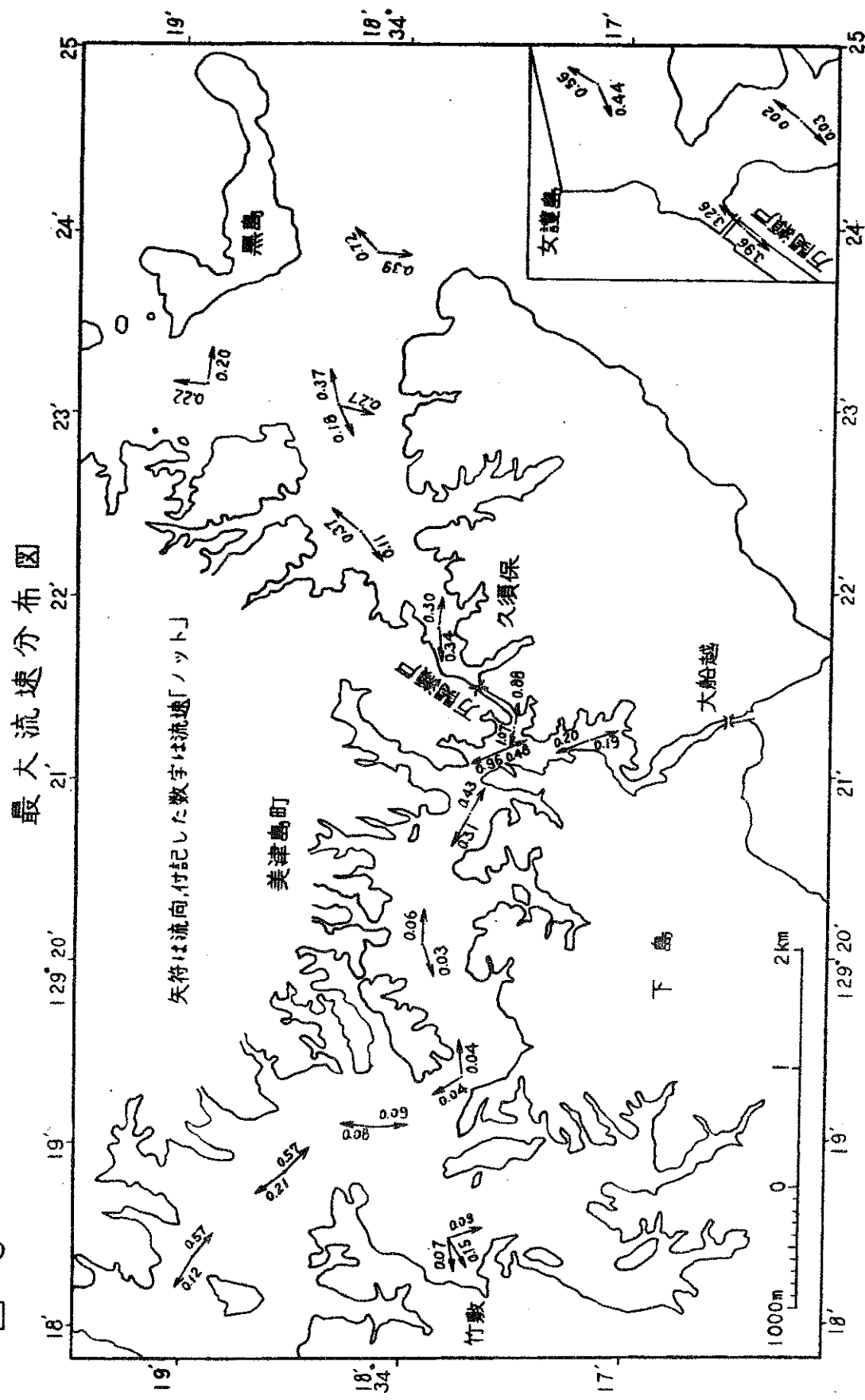


図-6-1 四季の潮流・潮汐曲線

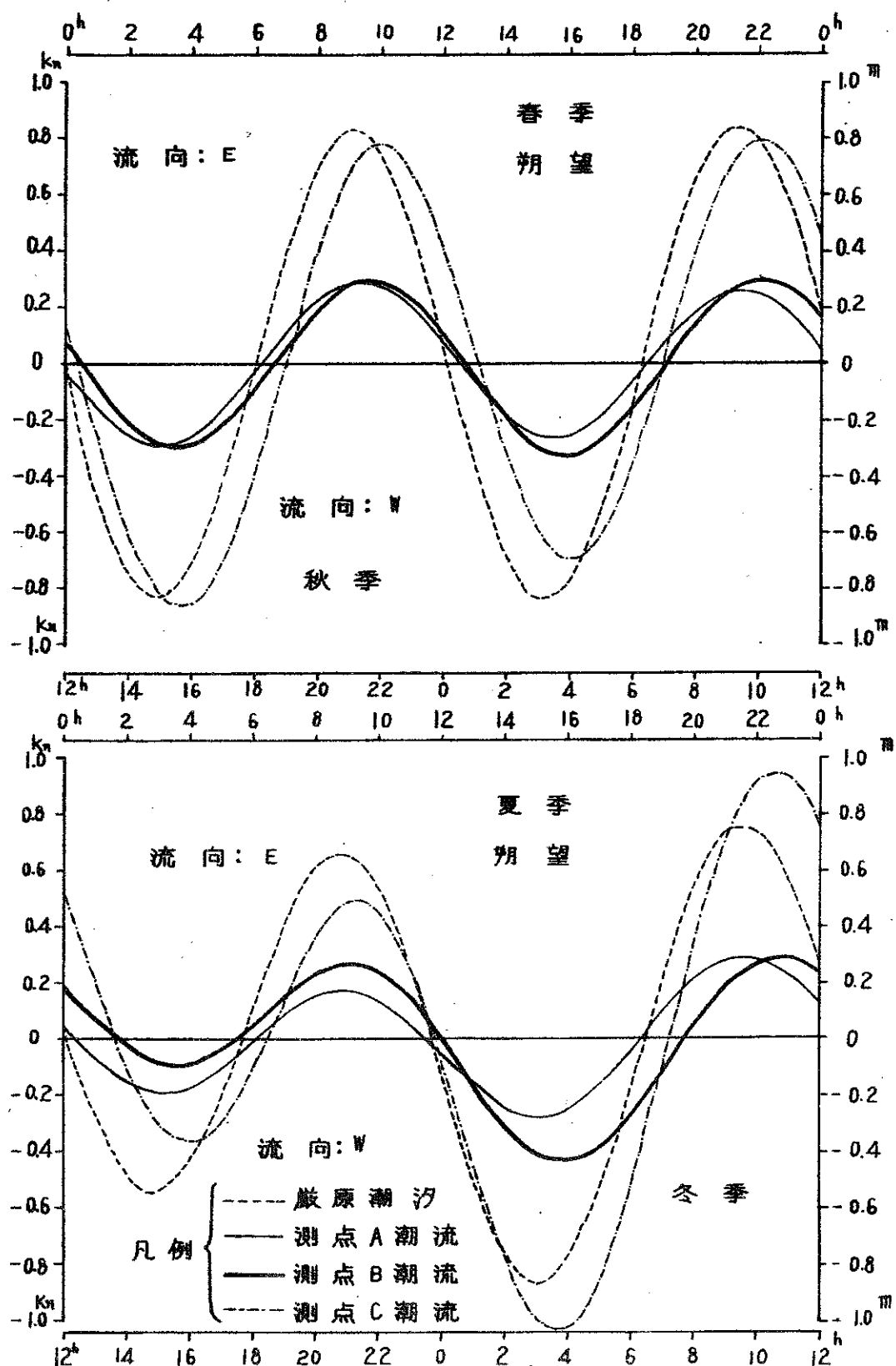


図-6-2 四季の潮流・潮汐曲線

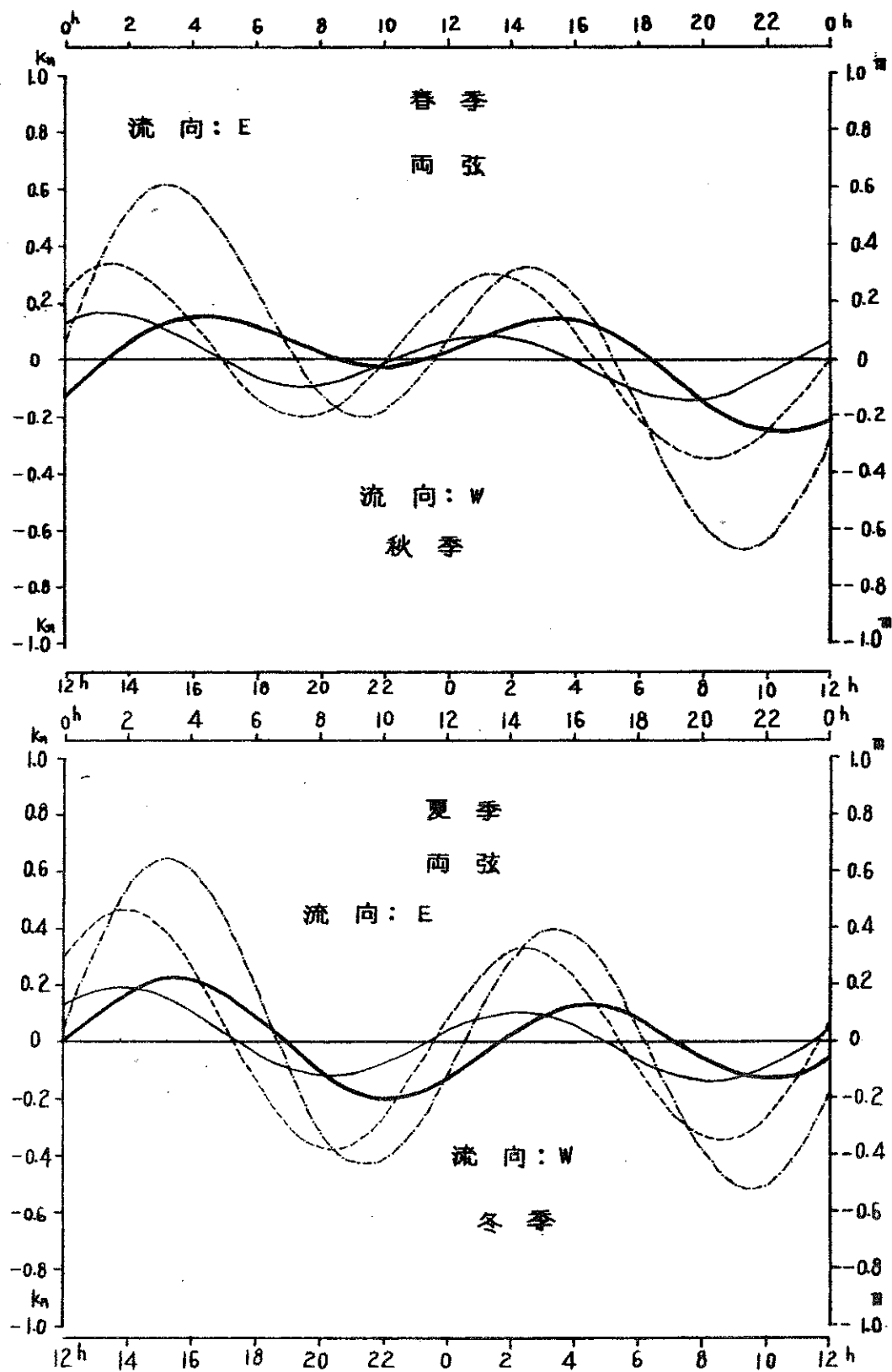


図-6-3 四季の潮汐曲線

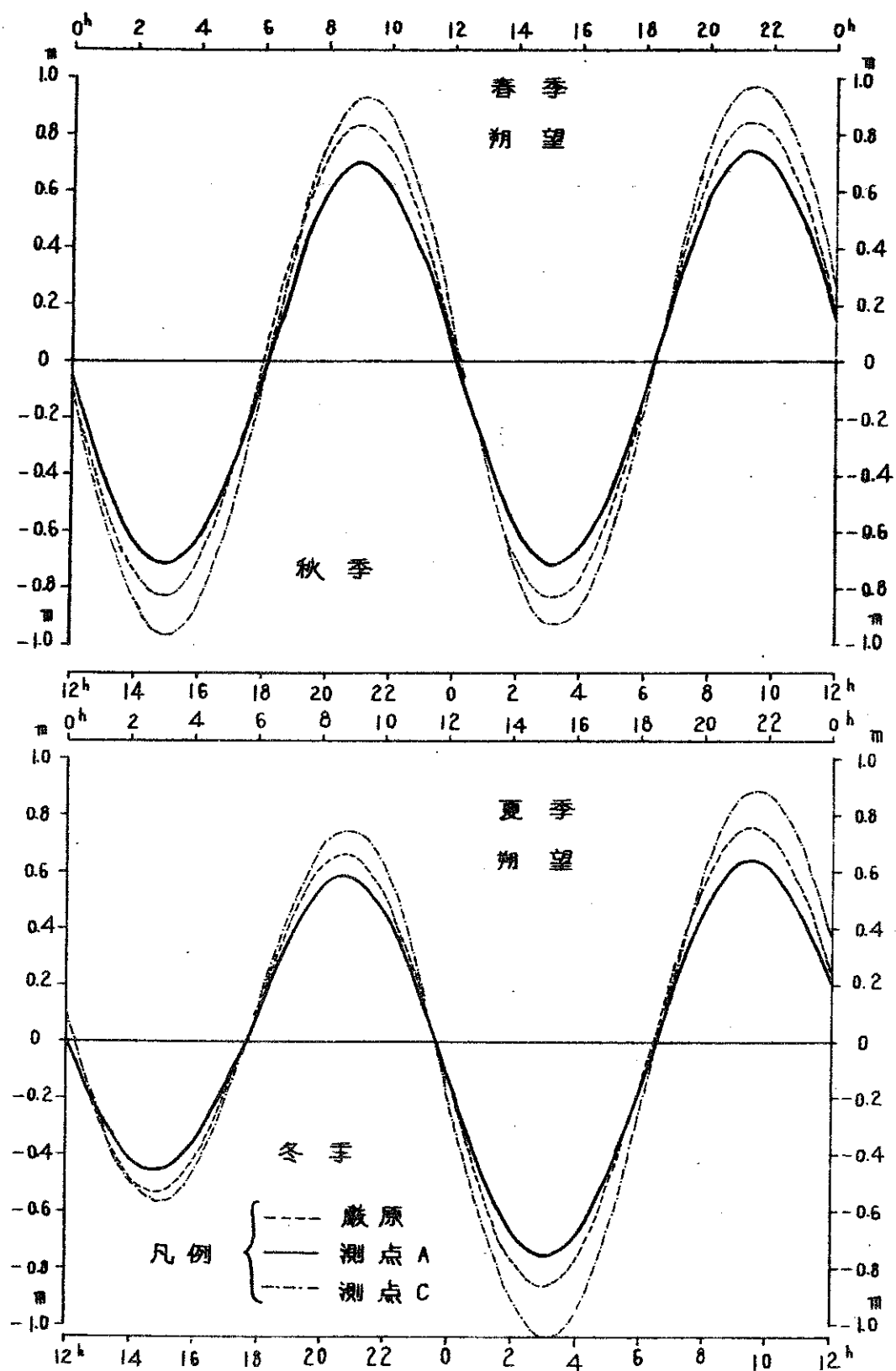


図-6-4

四季の潮汐曲線

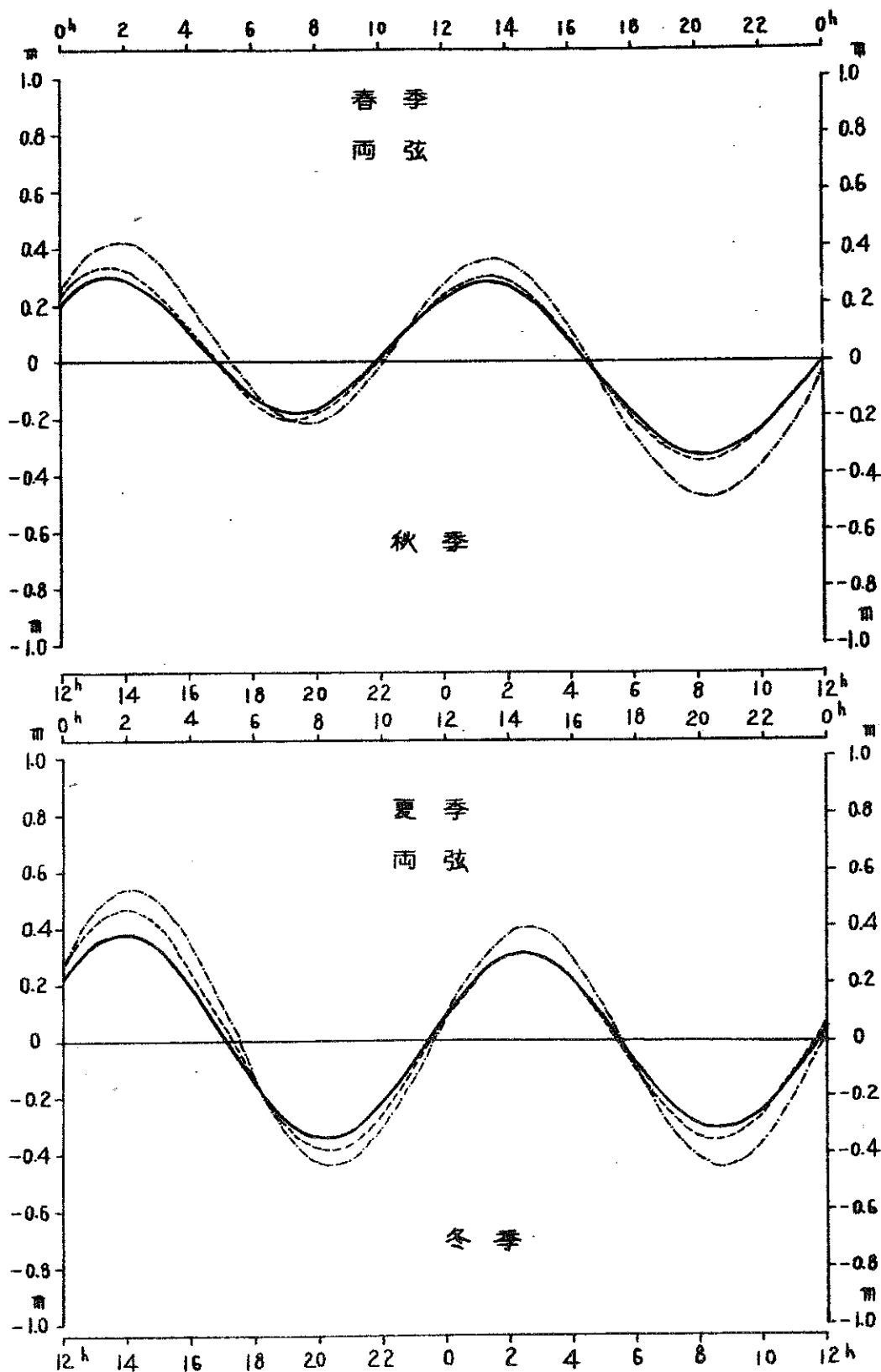


図-7-1

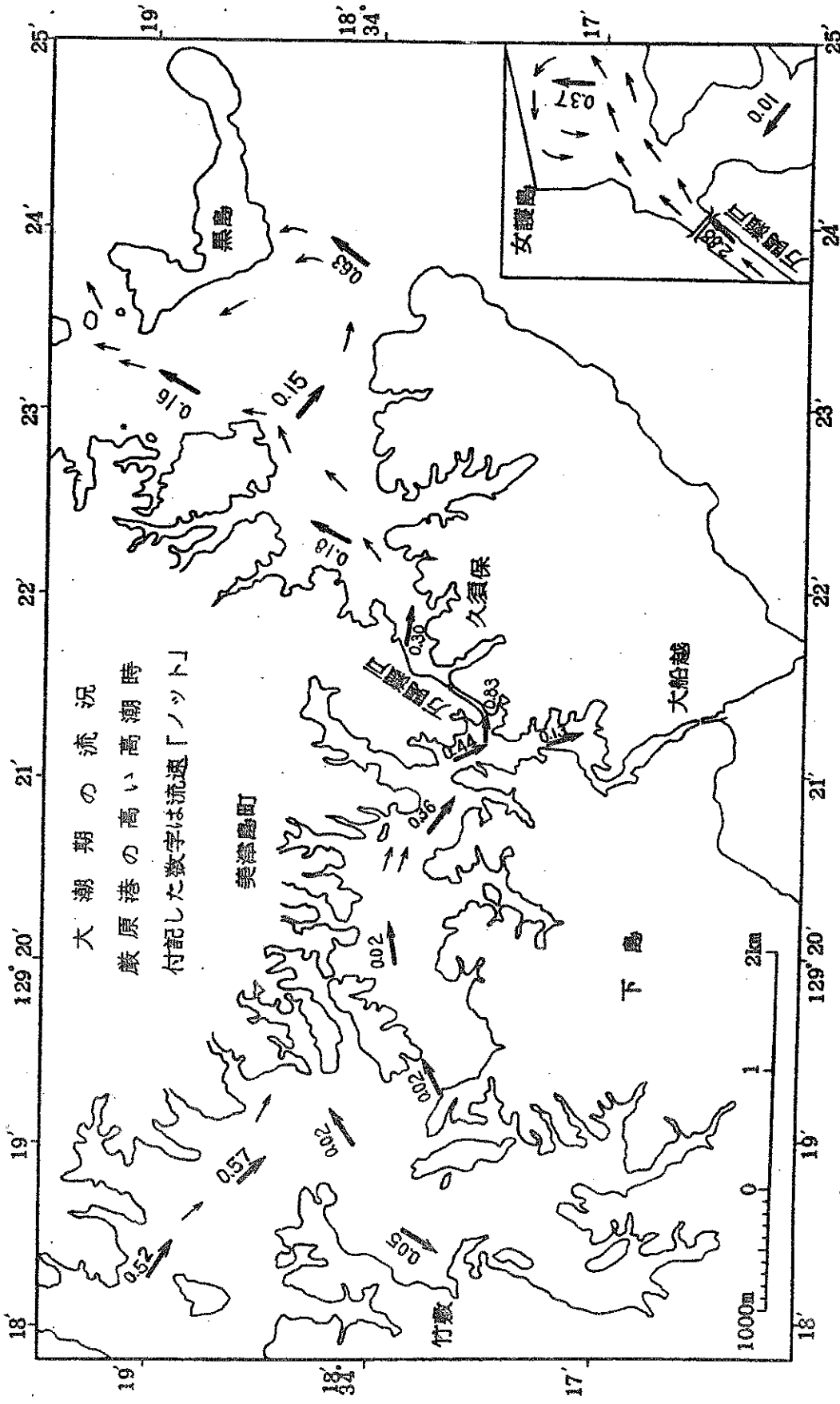


図-7-2

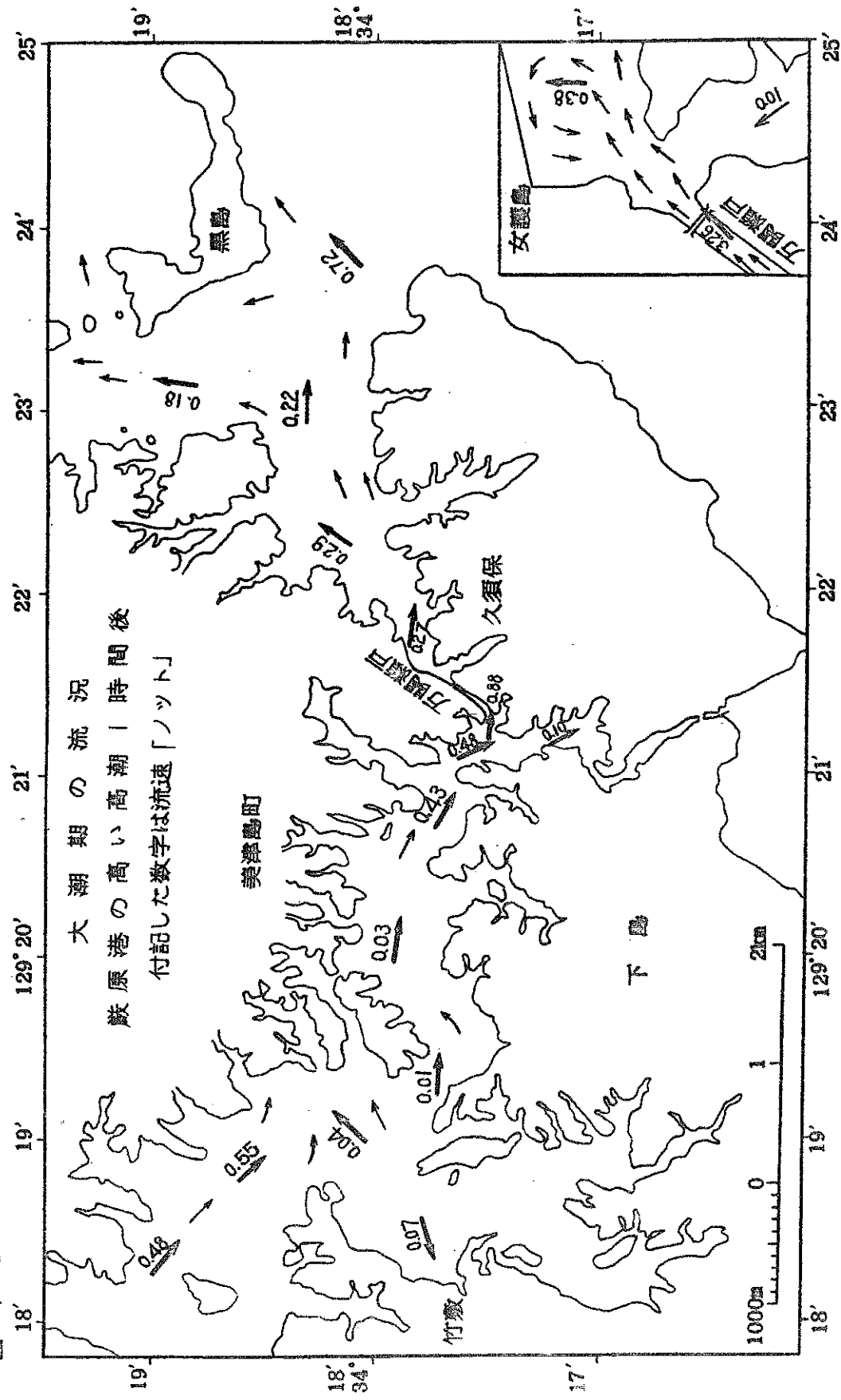


図-7-3

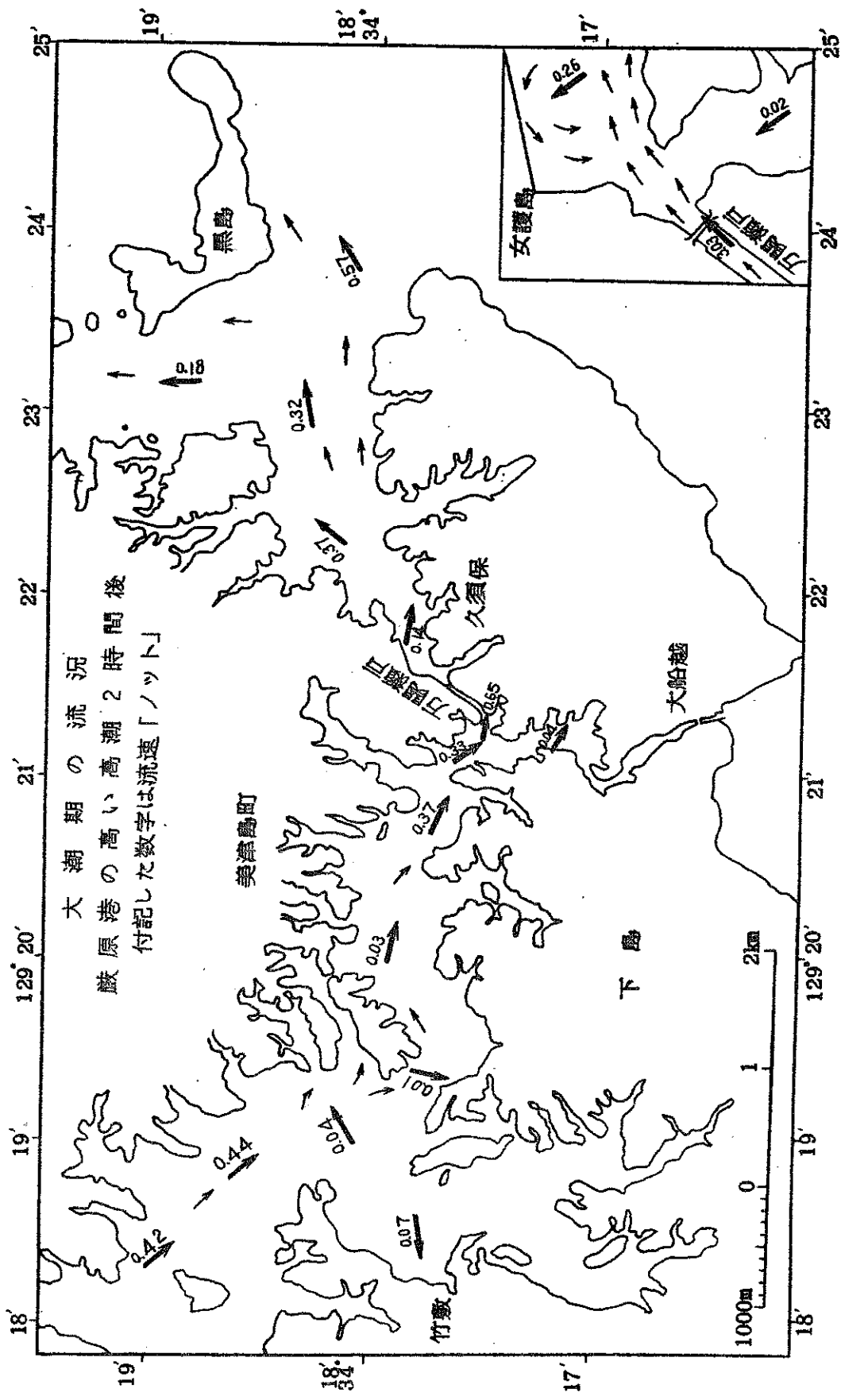


図-7-4

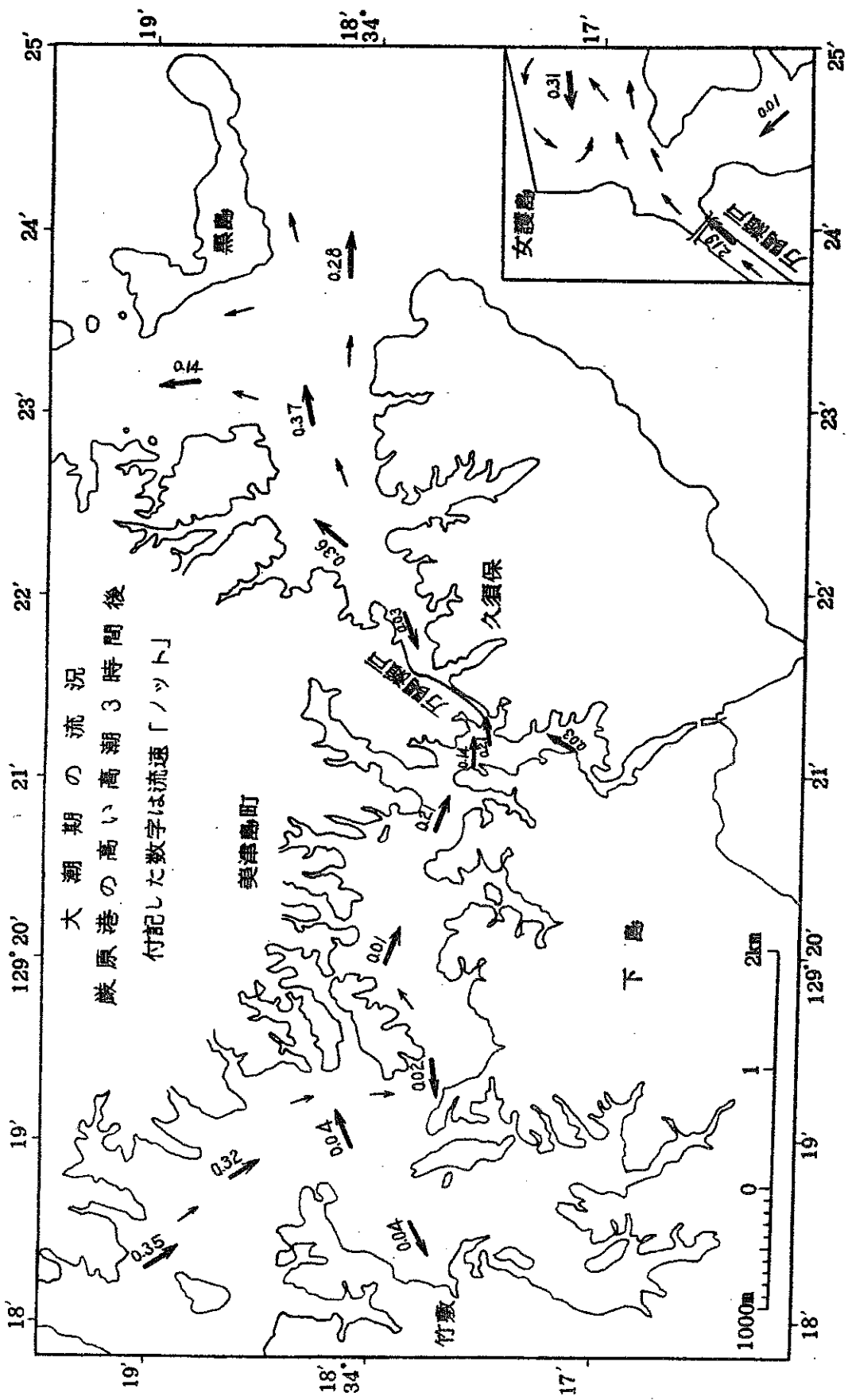


図-7-5

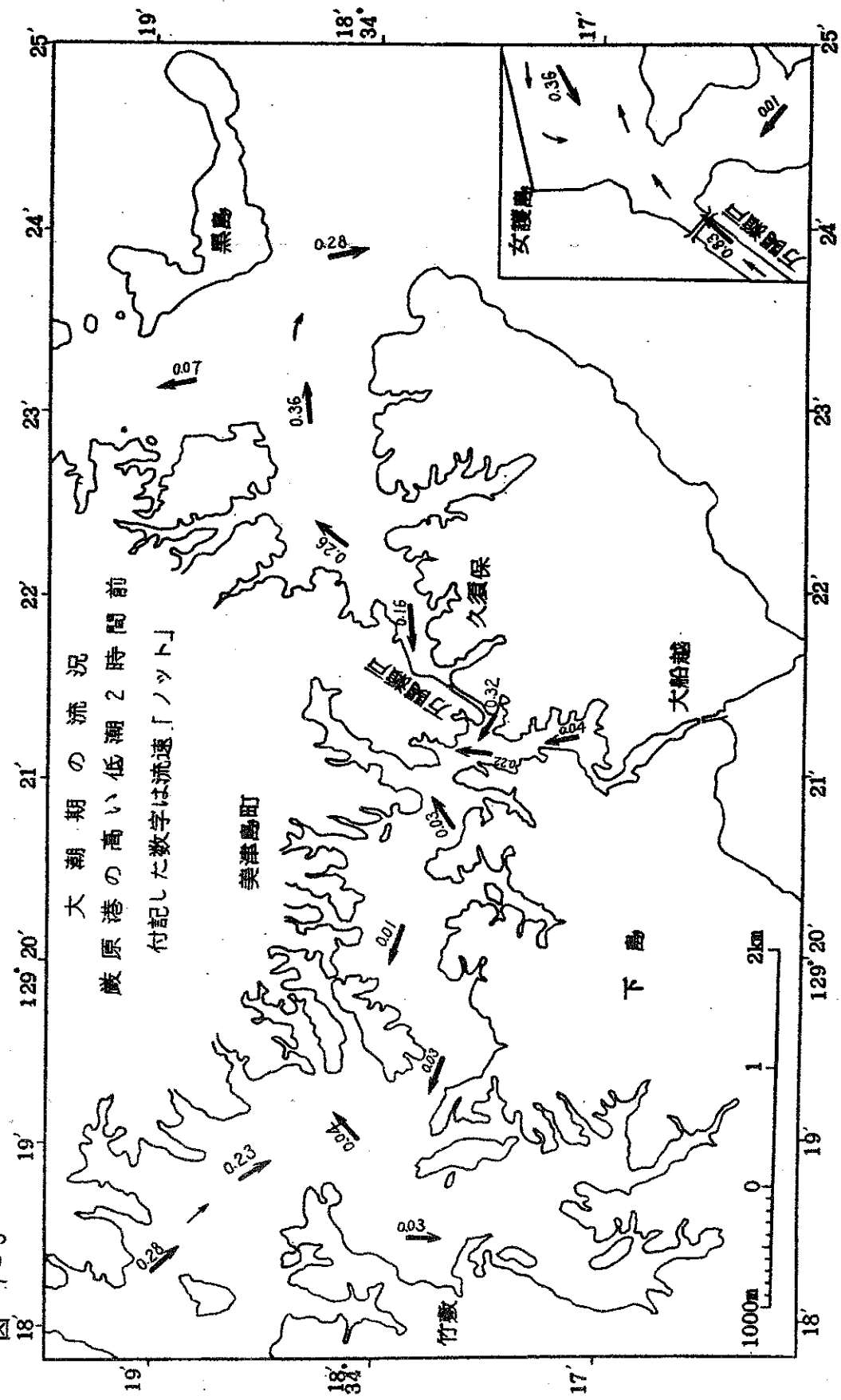


図-7-6

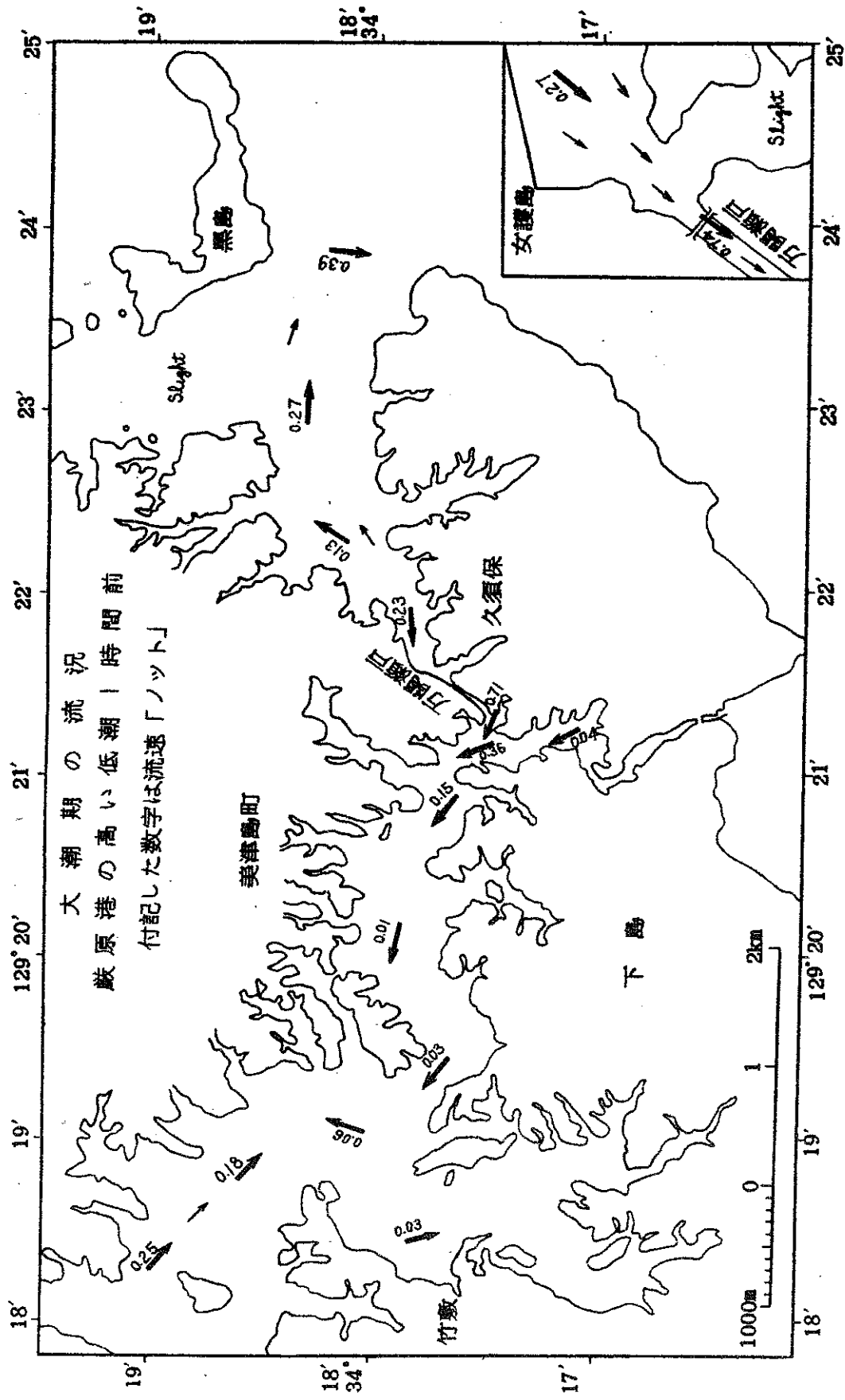


図-7-7

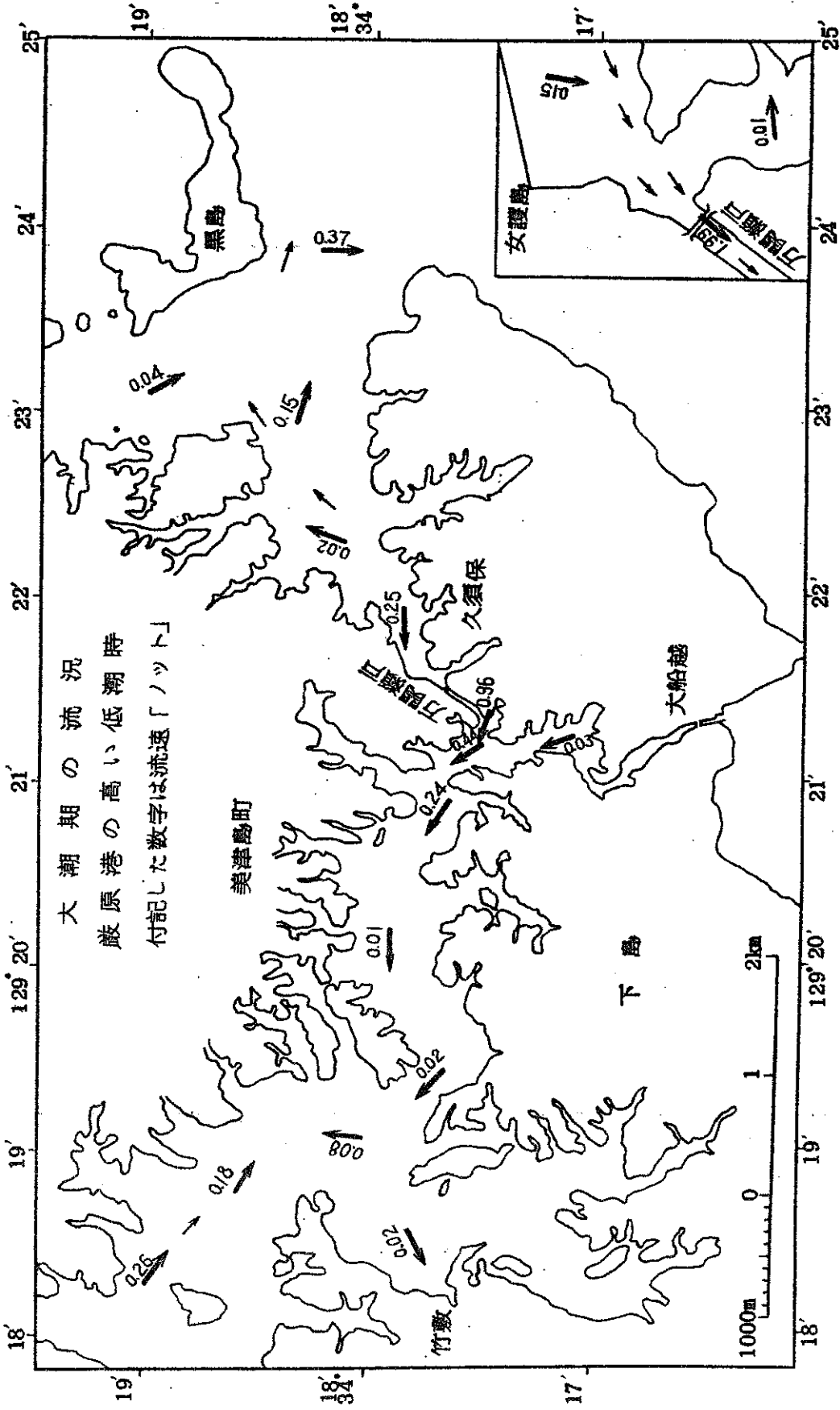


図-7-8

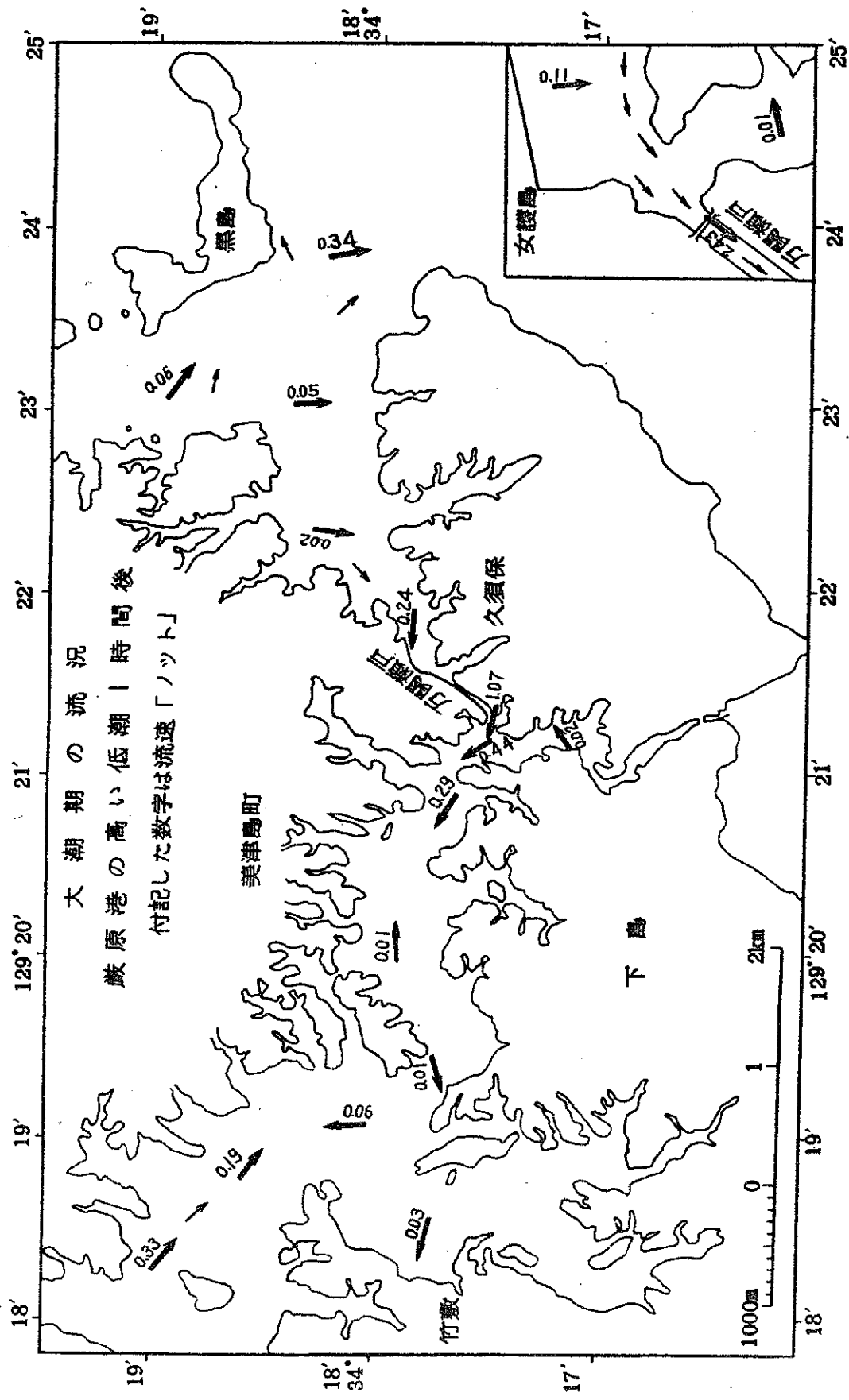


図-7-9

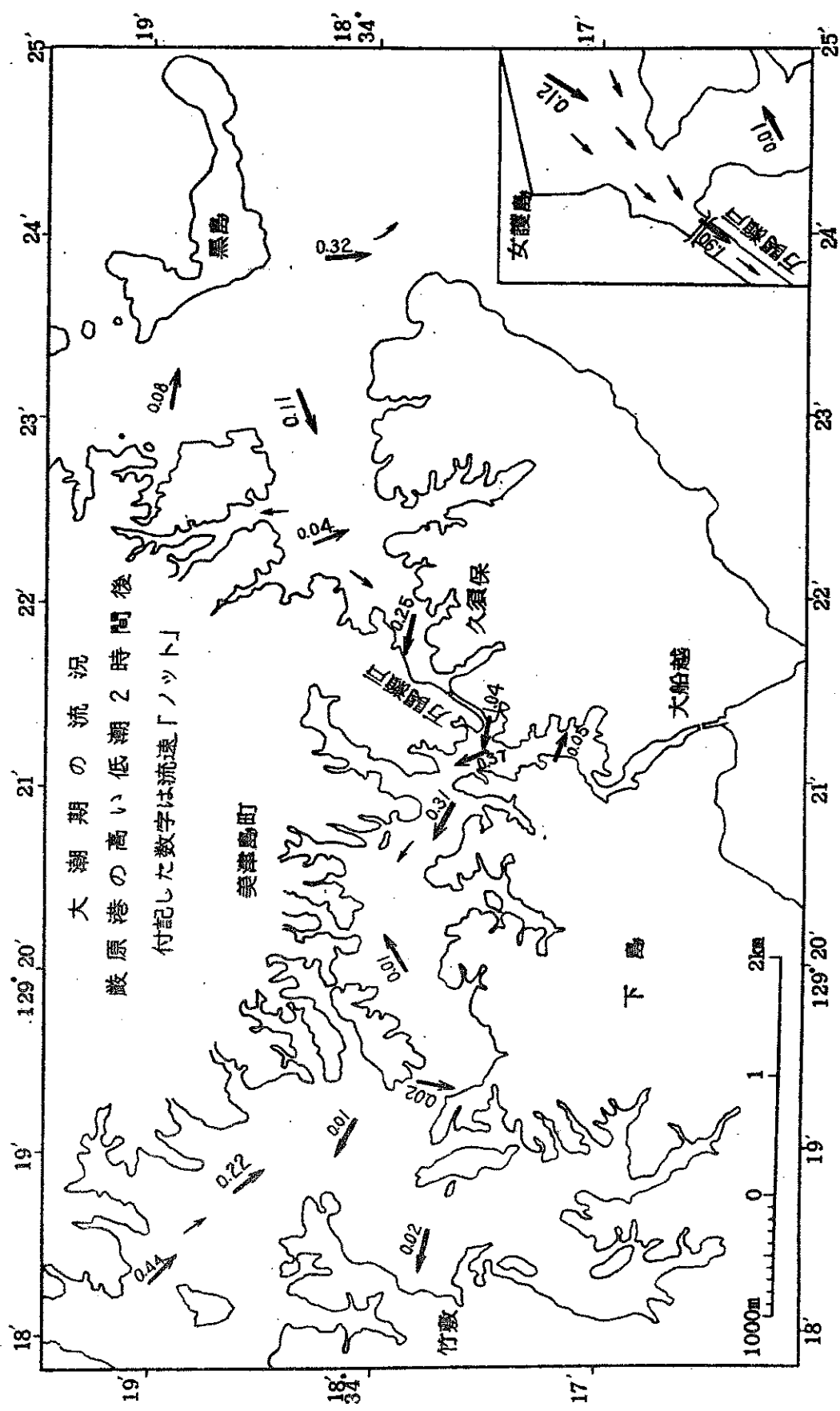


図-7-10

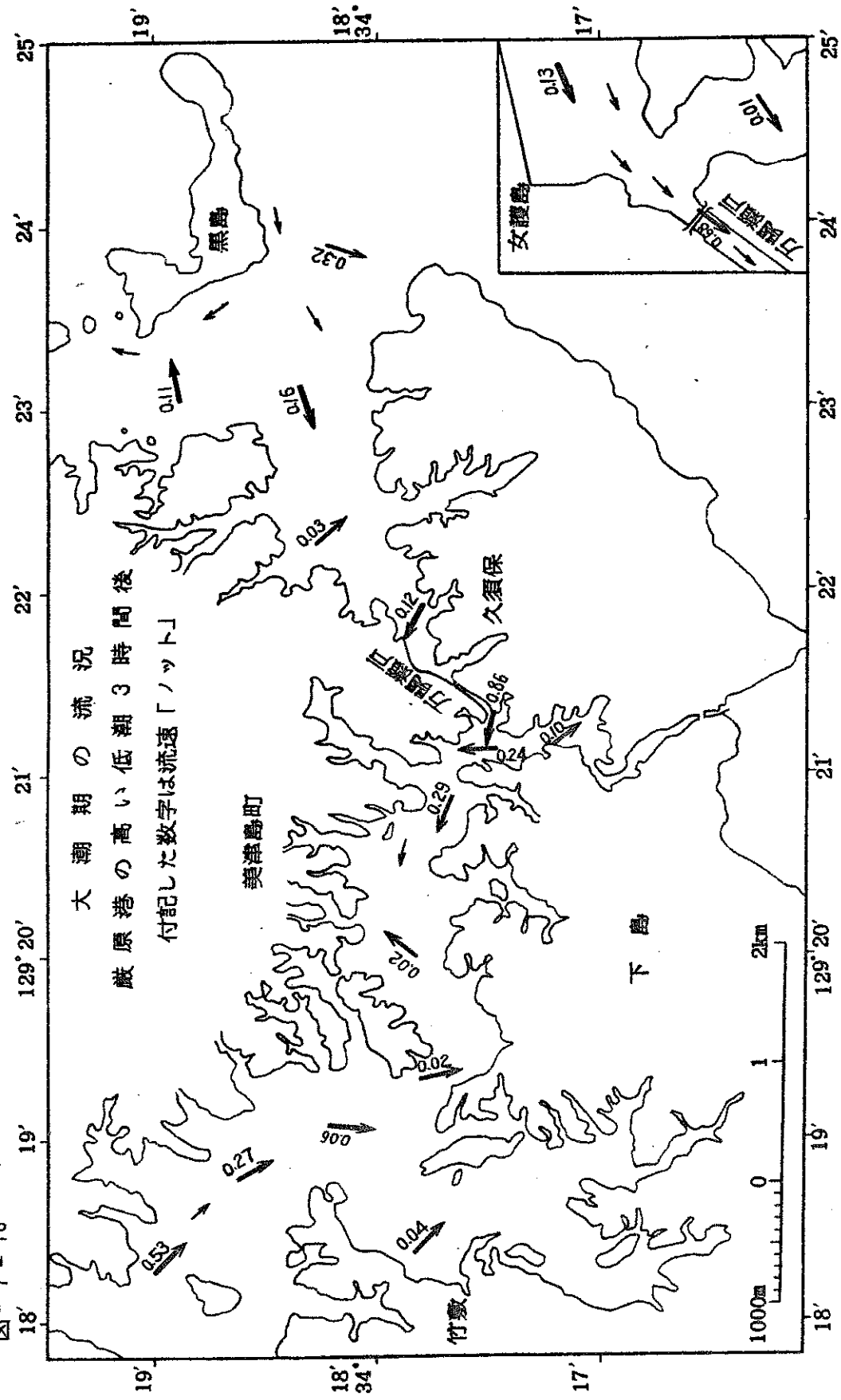


図-7-11

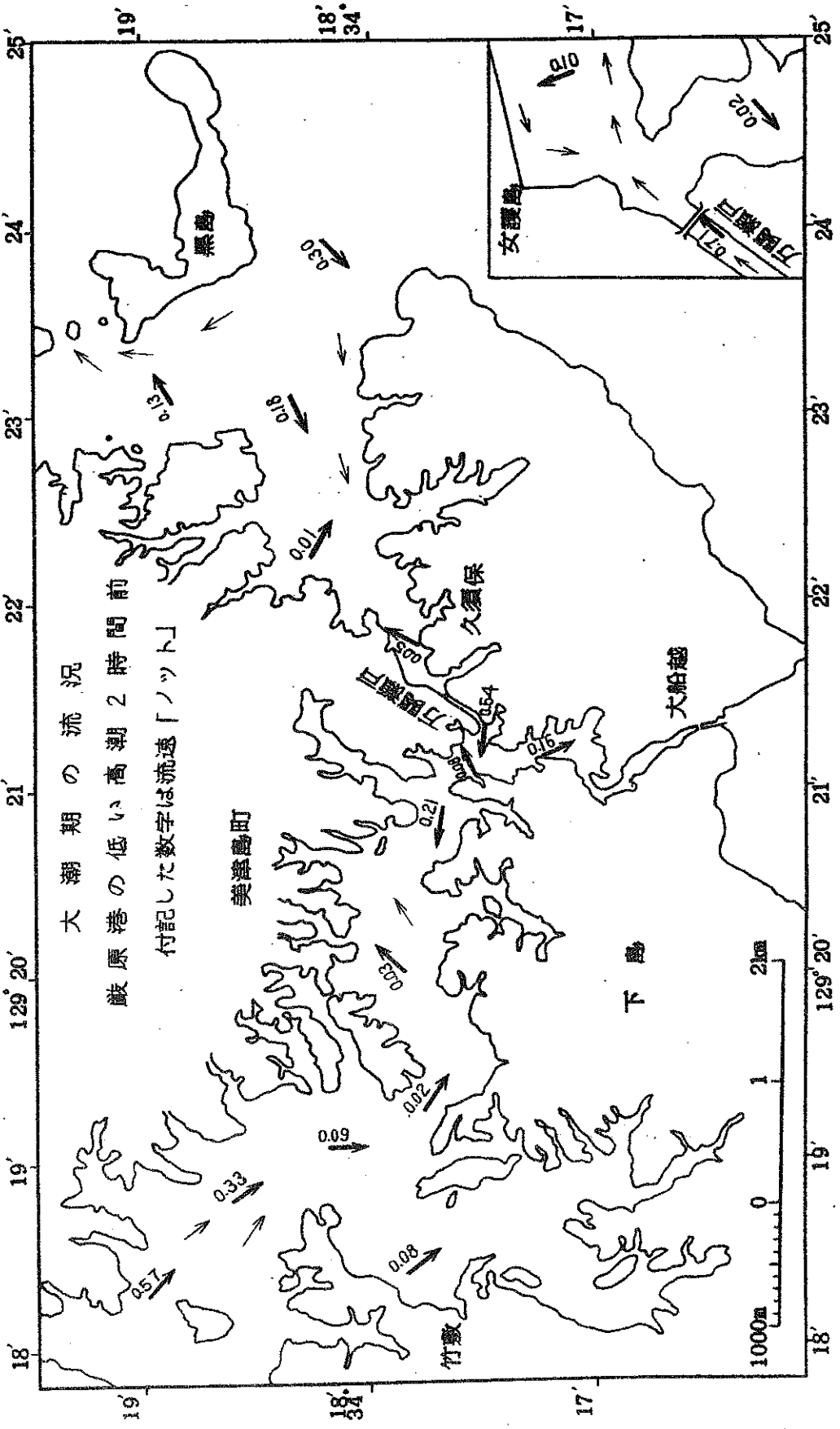


図-7-12

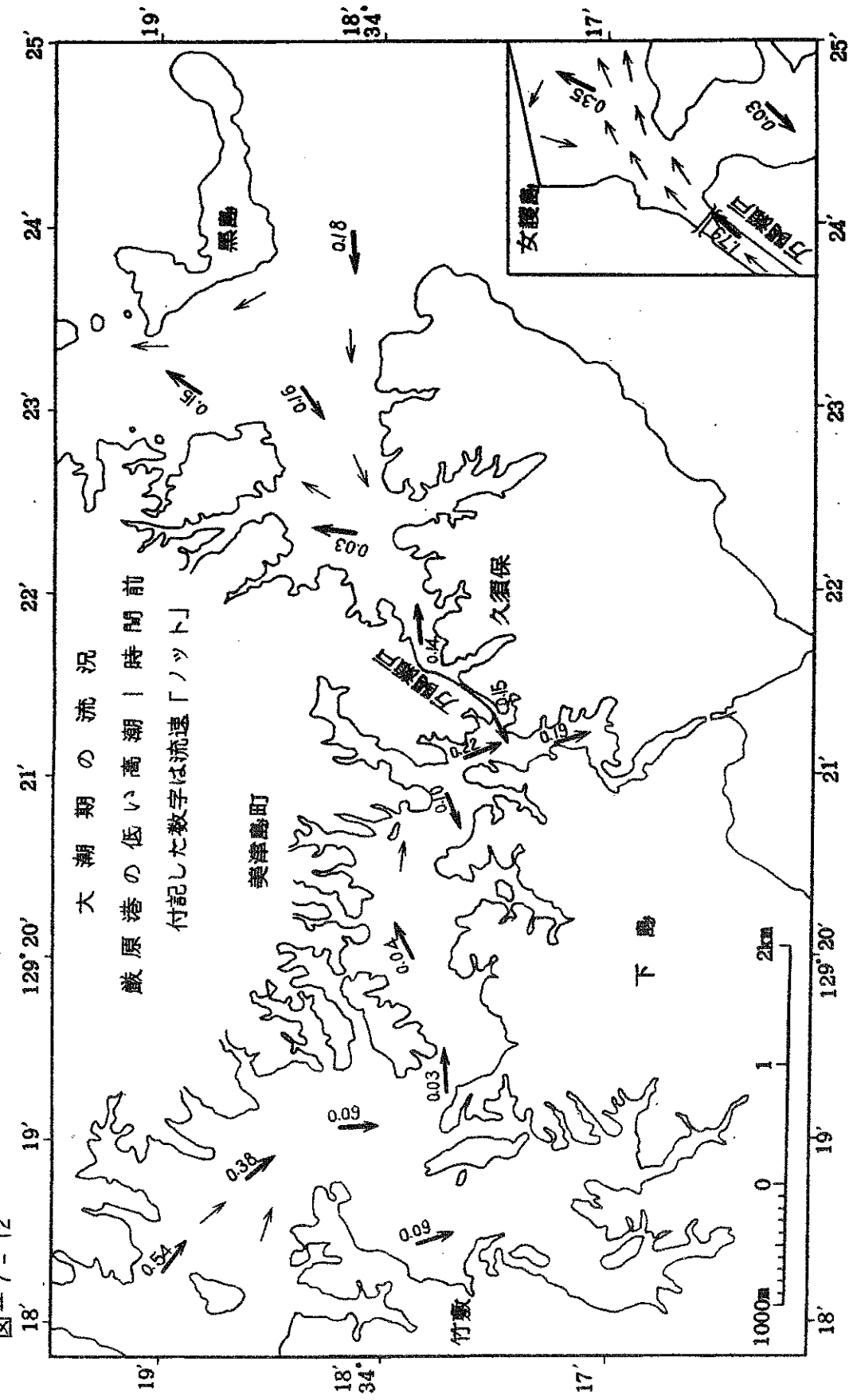


図-7-13

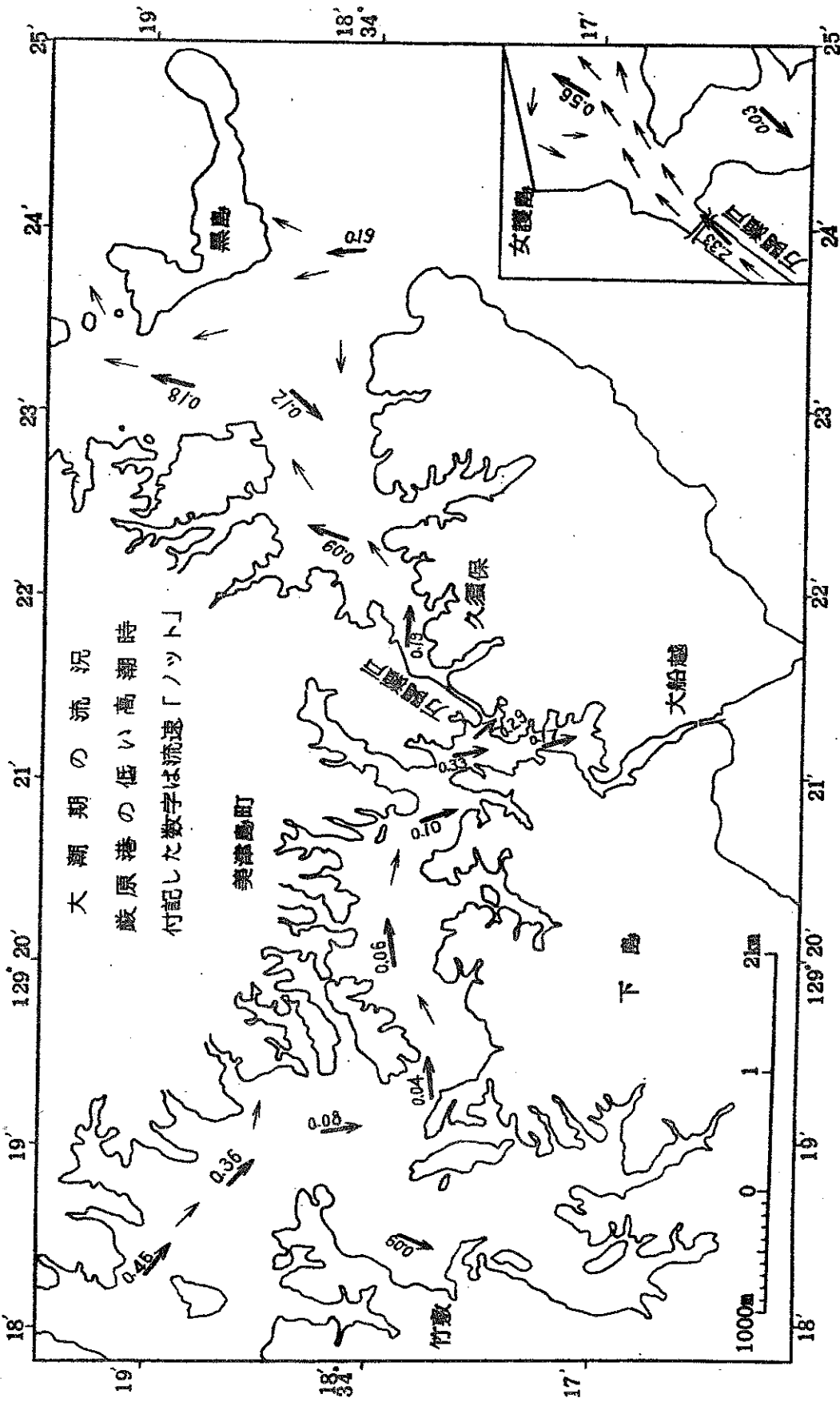


図-7-14

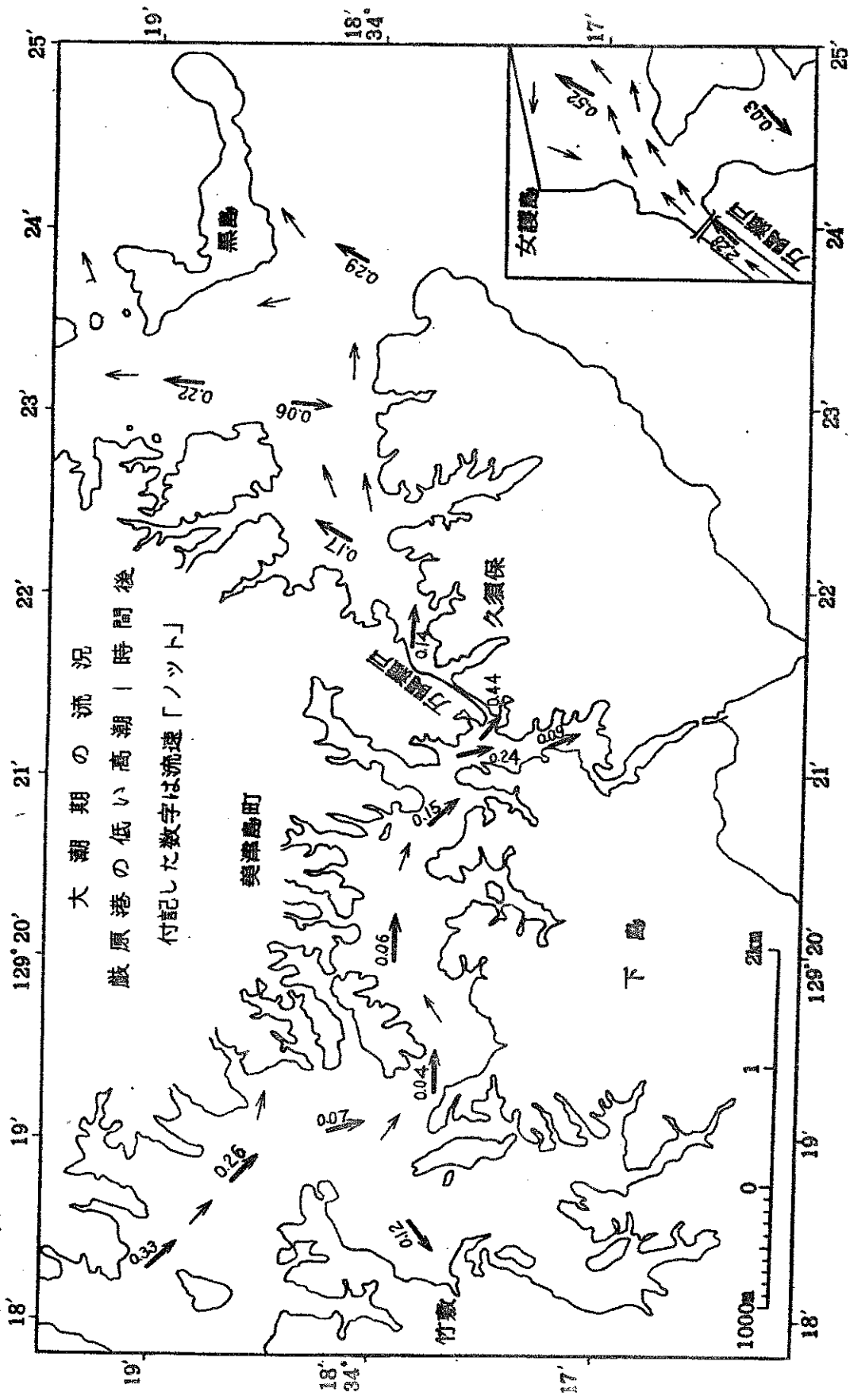


図-7-15

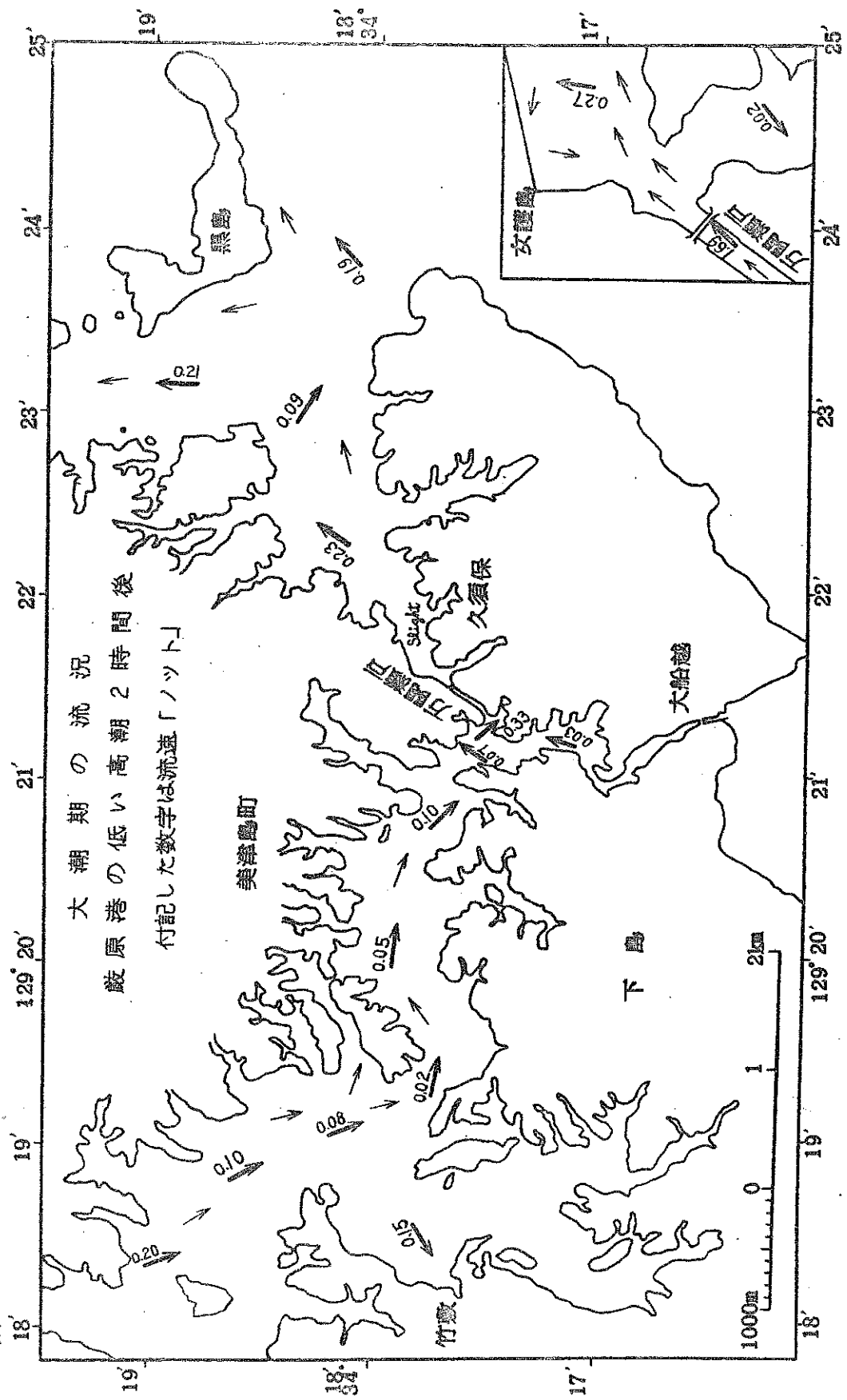


図-7-16

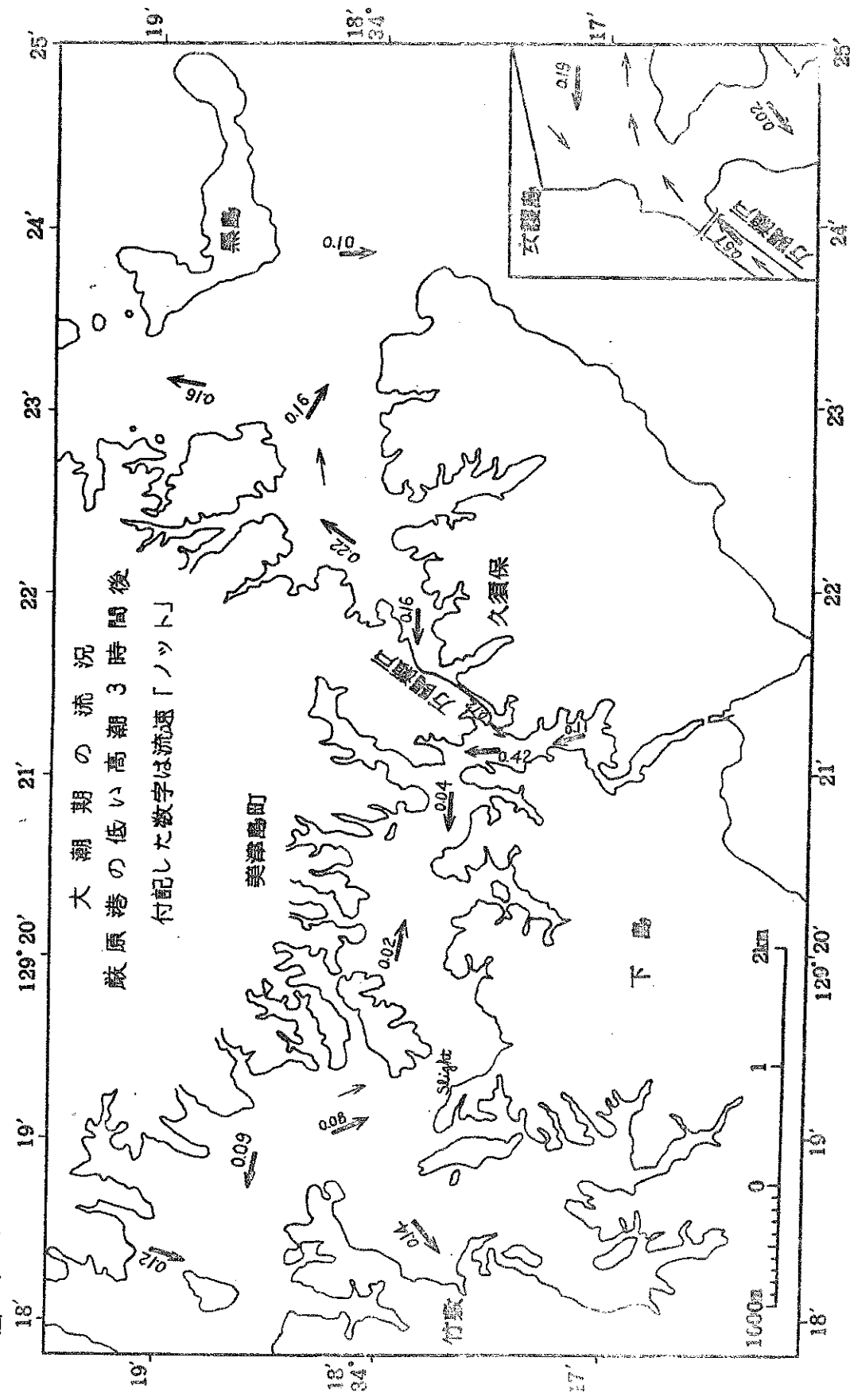


図-7-17

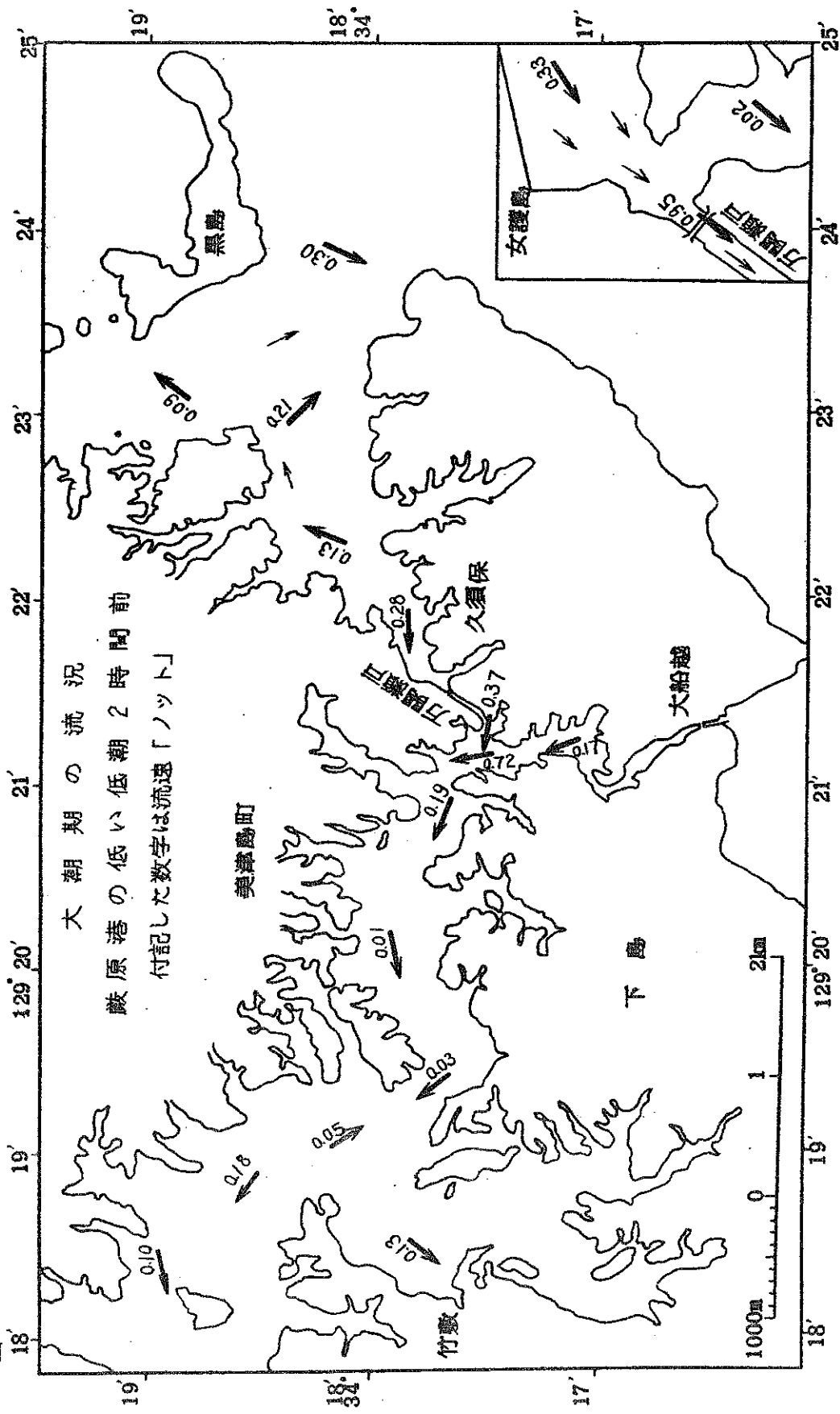


図-7-18

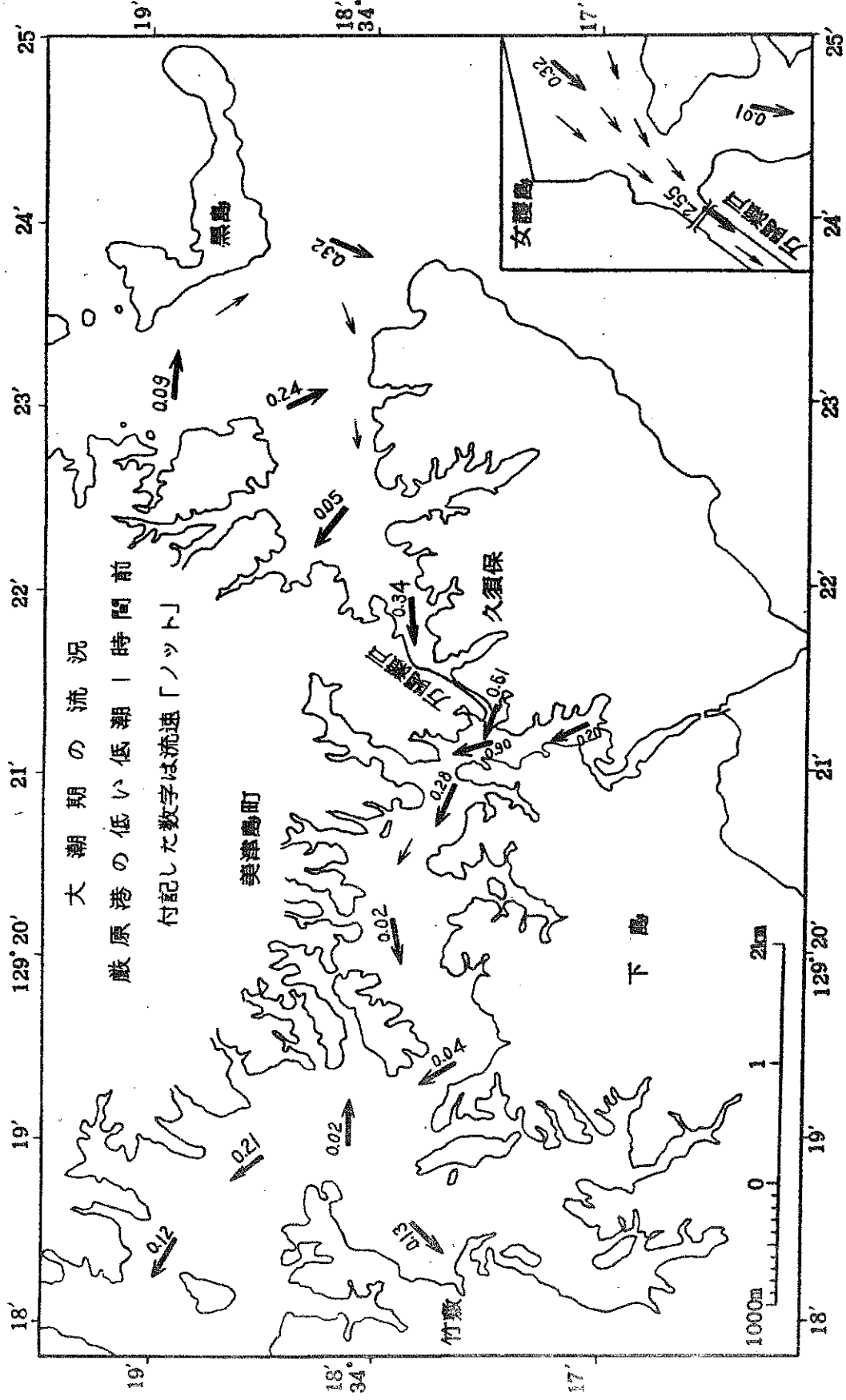


図-7-19

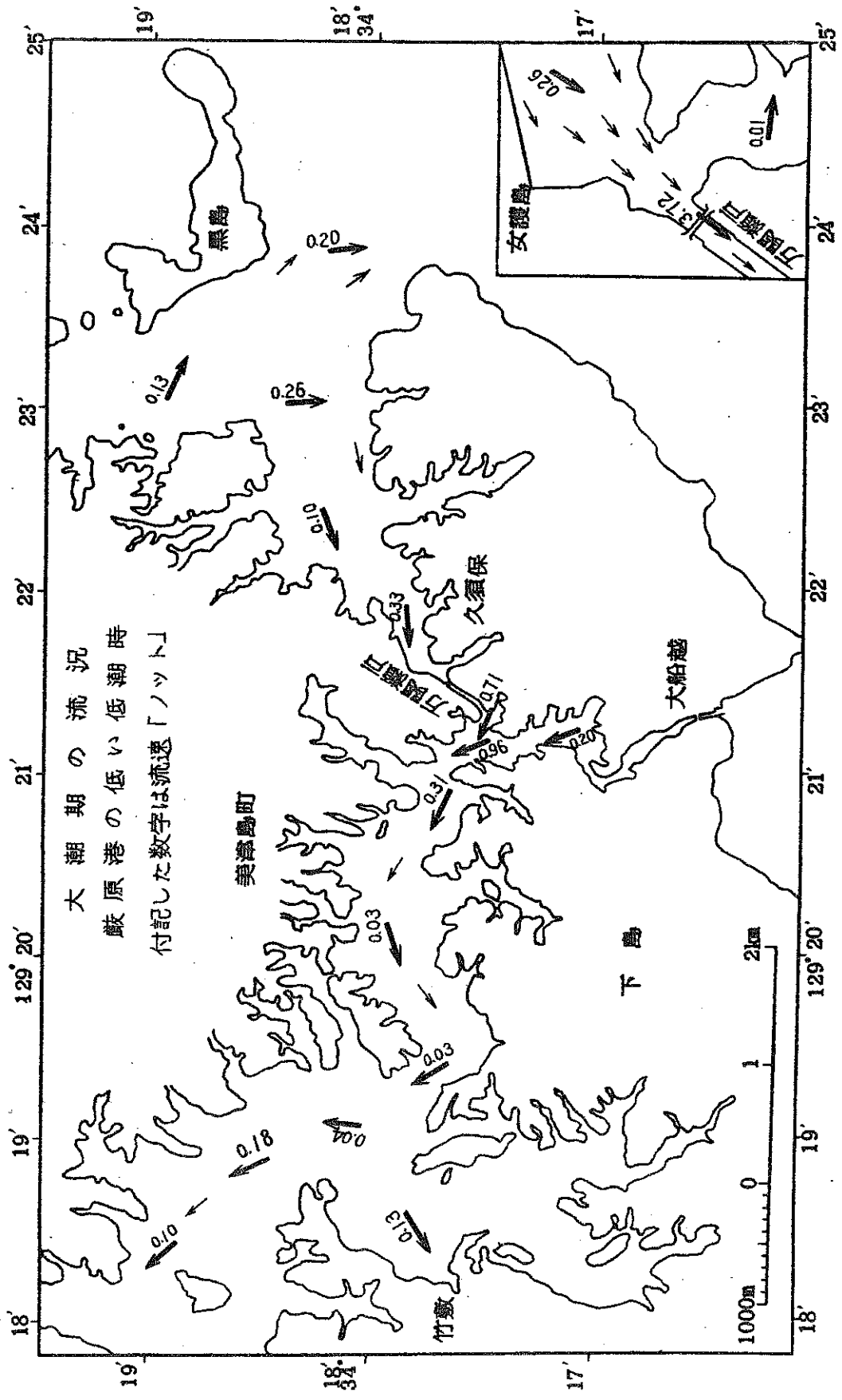


図-7-20

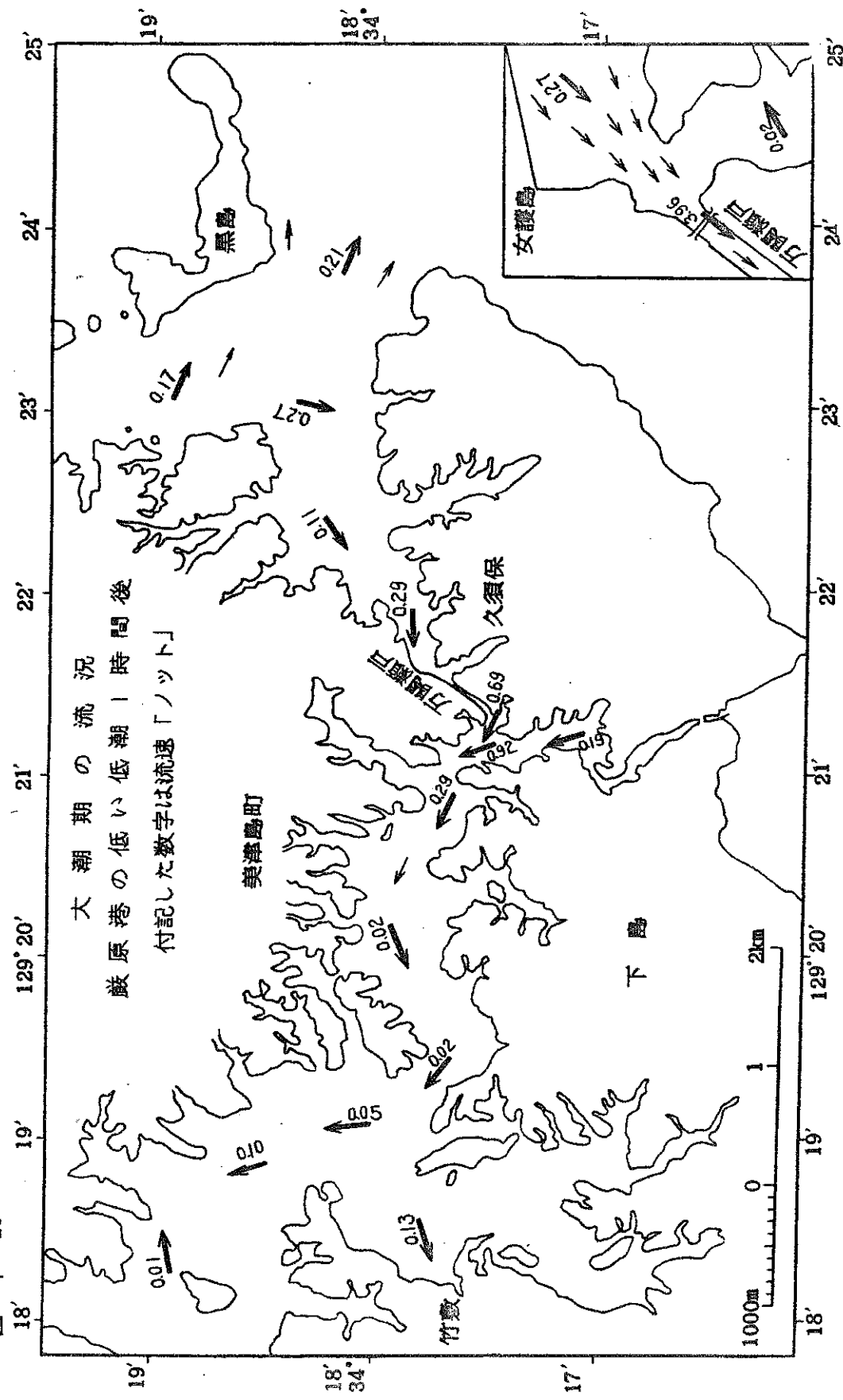


図-7-21

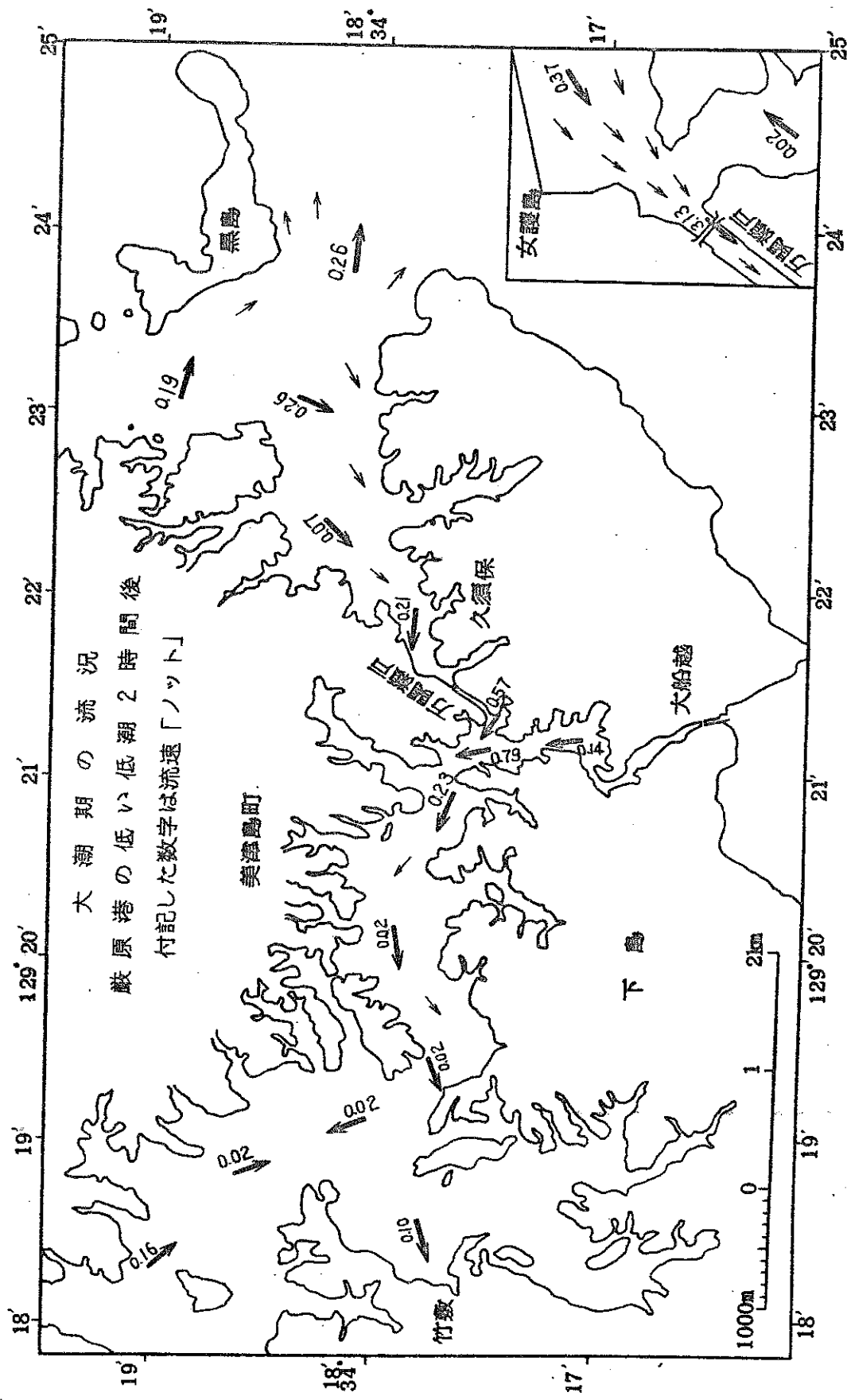


図-7-22

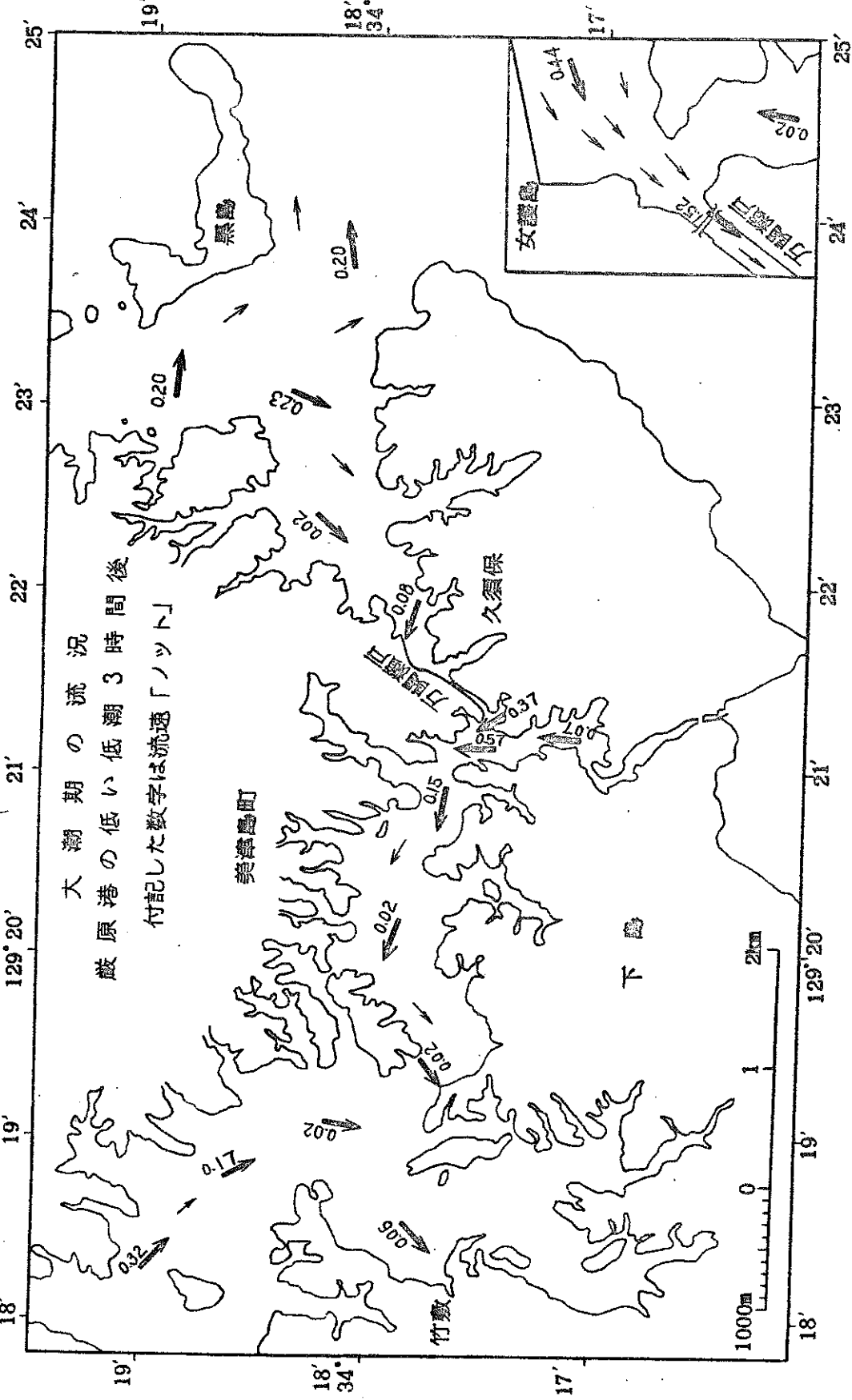


図-7-23

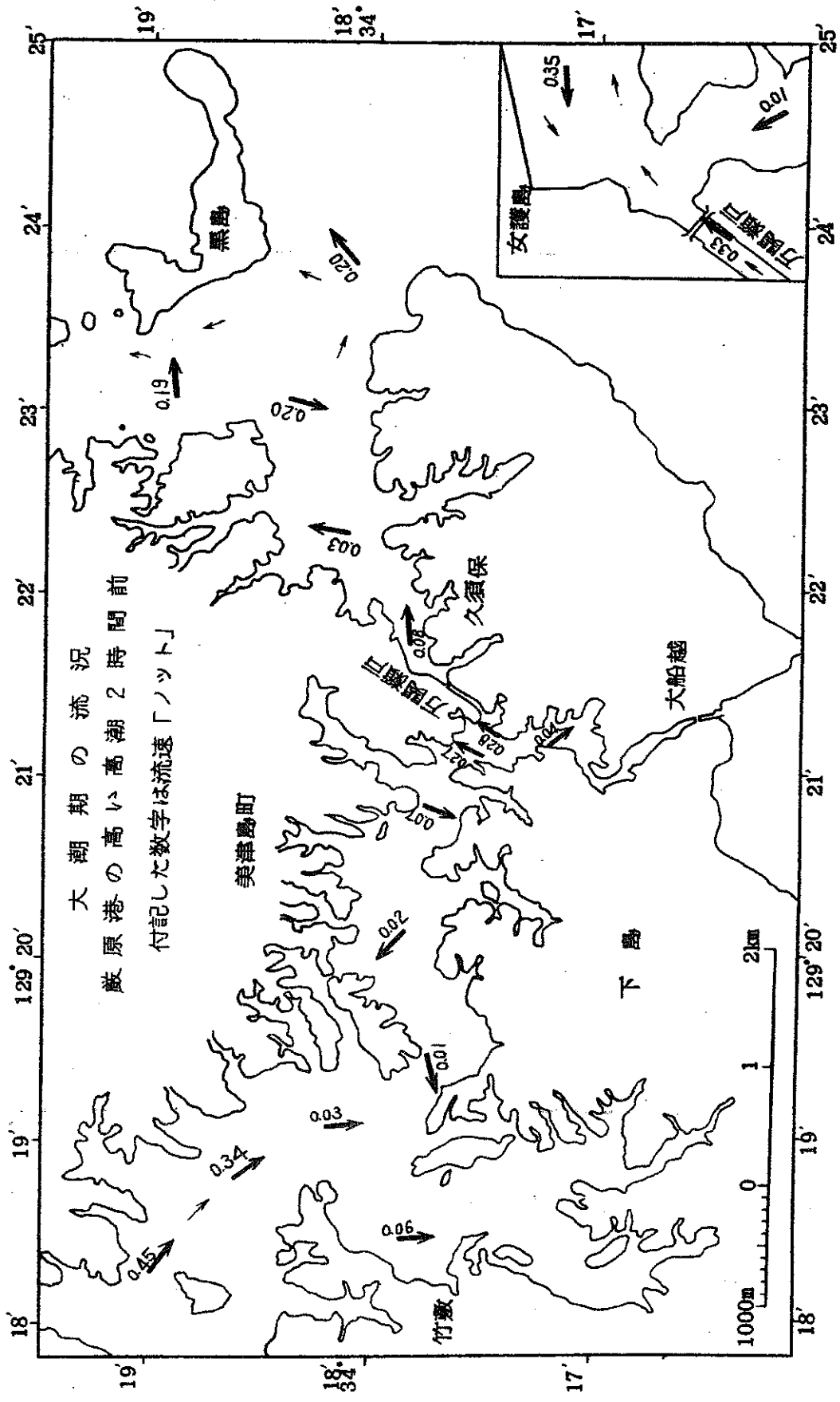


図-7-24

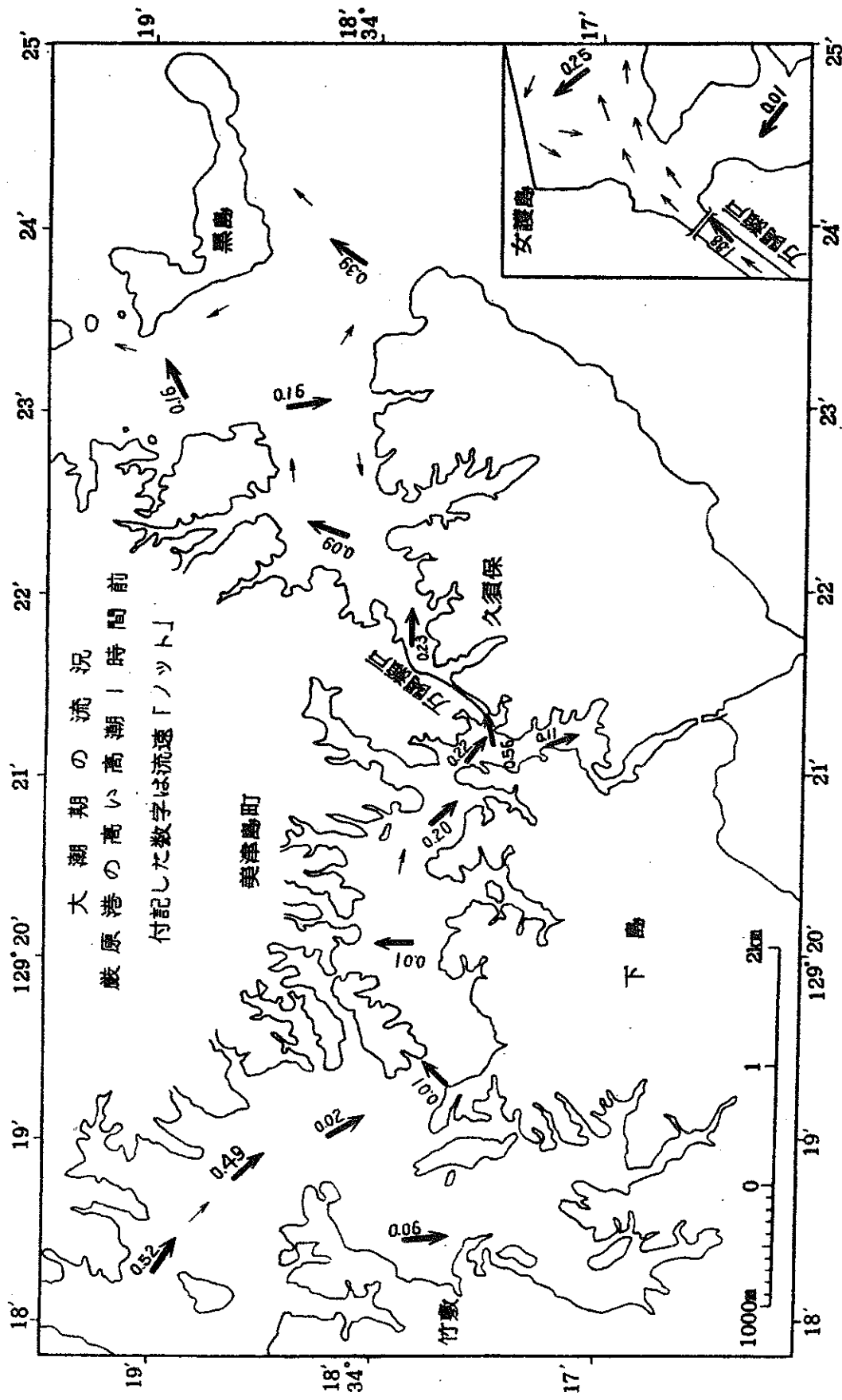


図 8

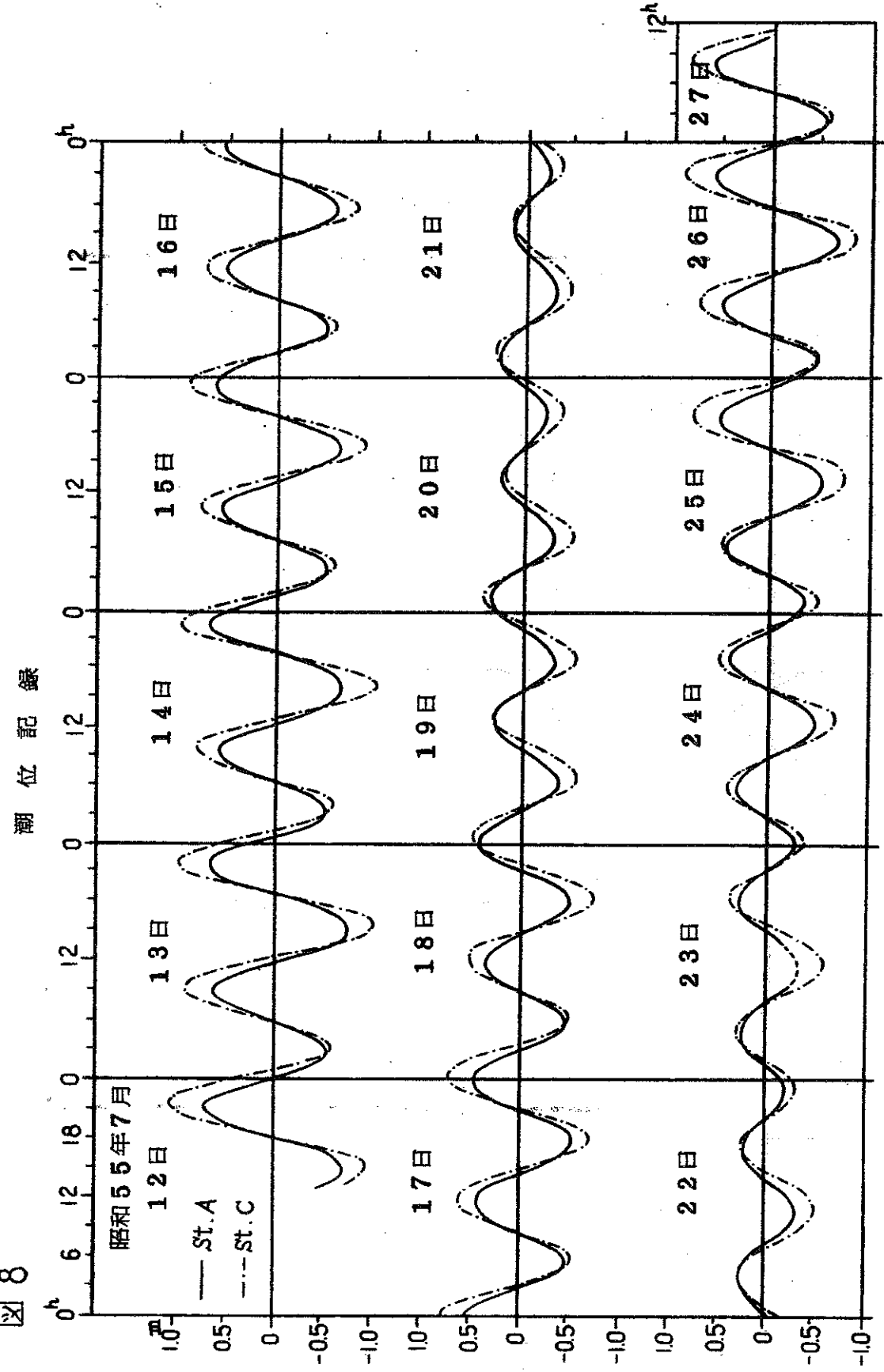


図 9

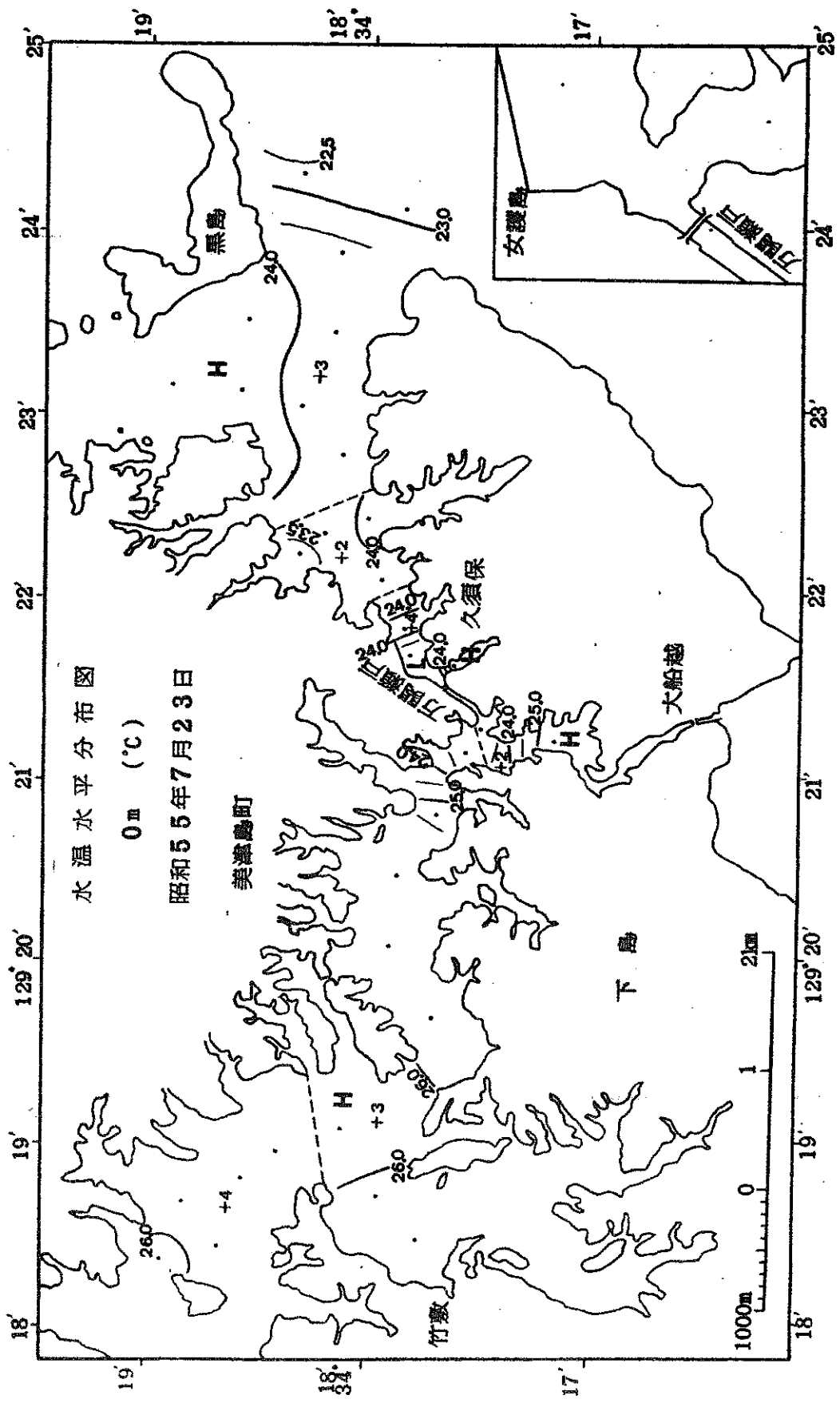


図10

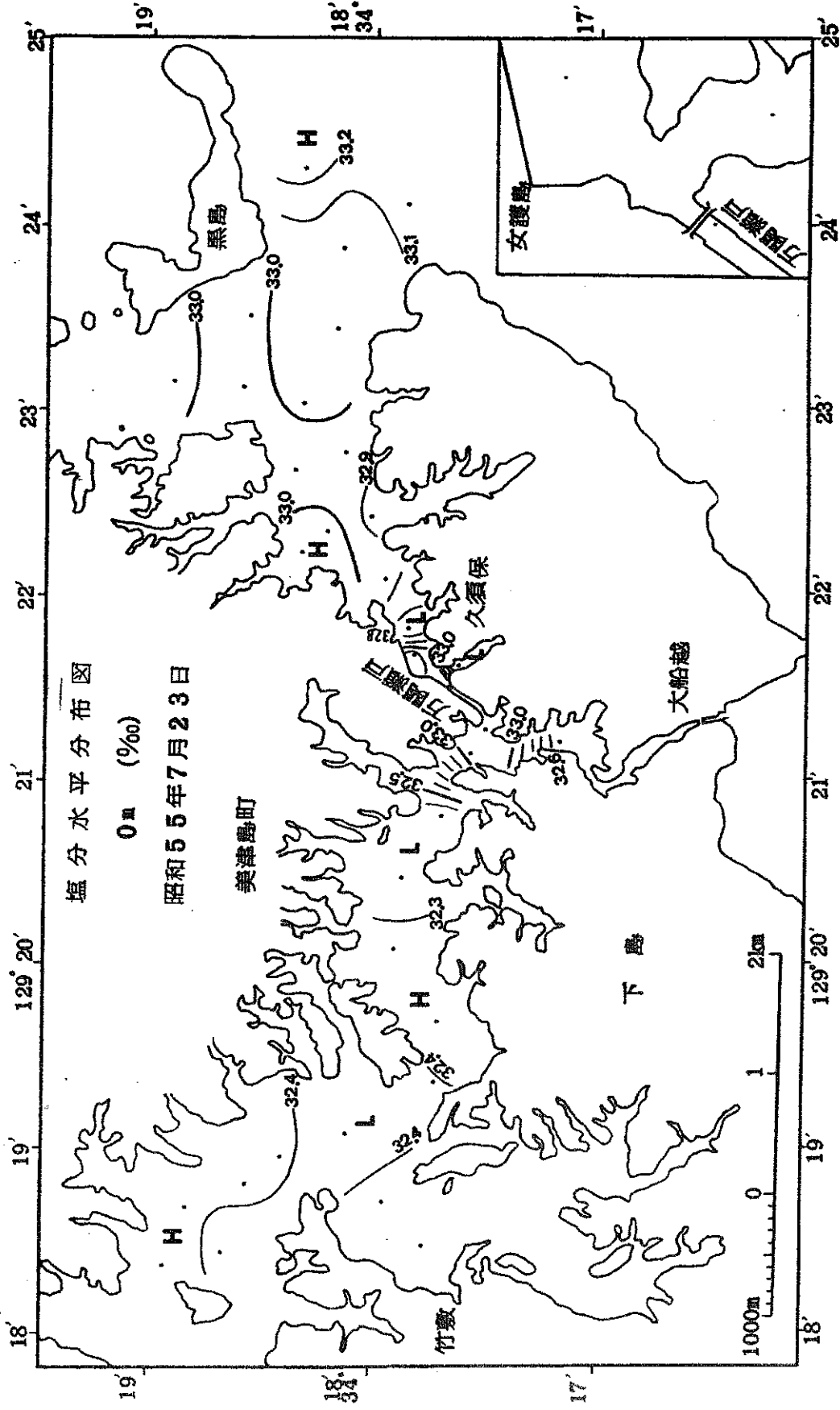


図 11

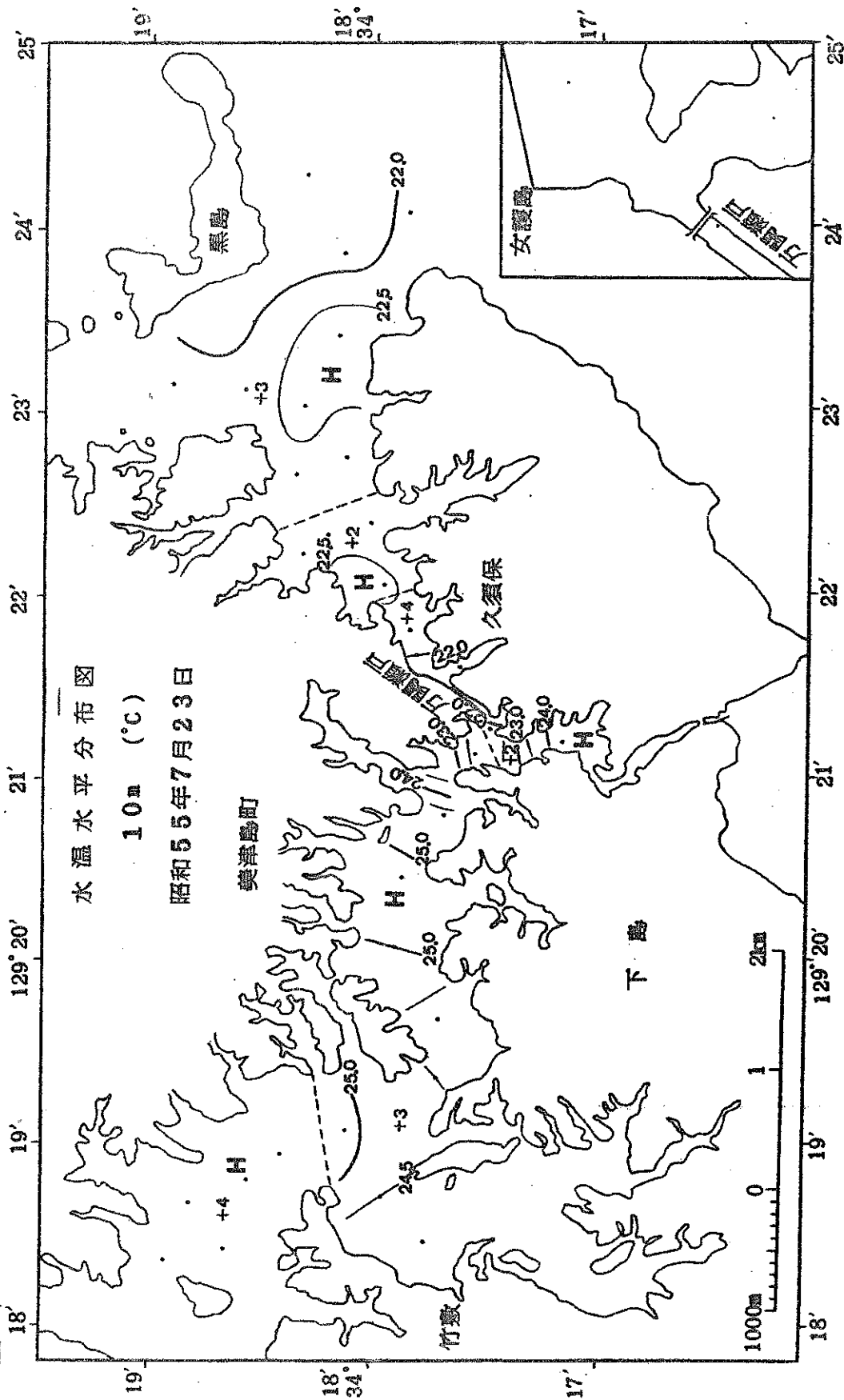
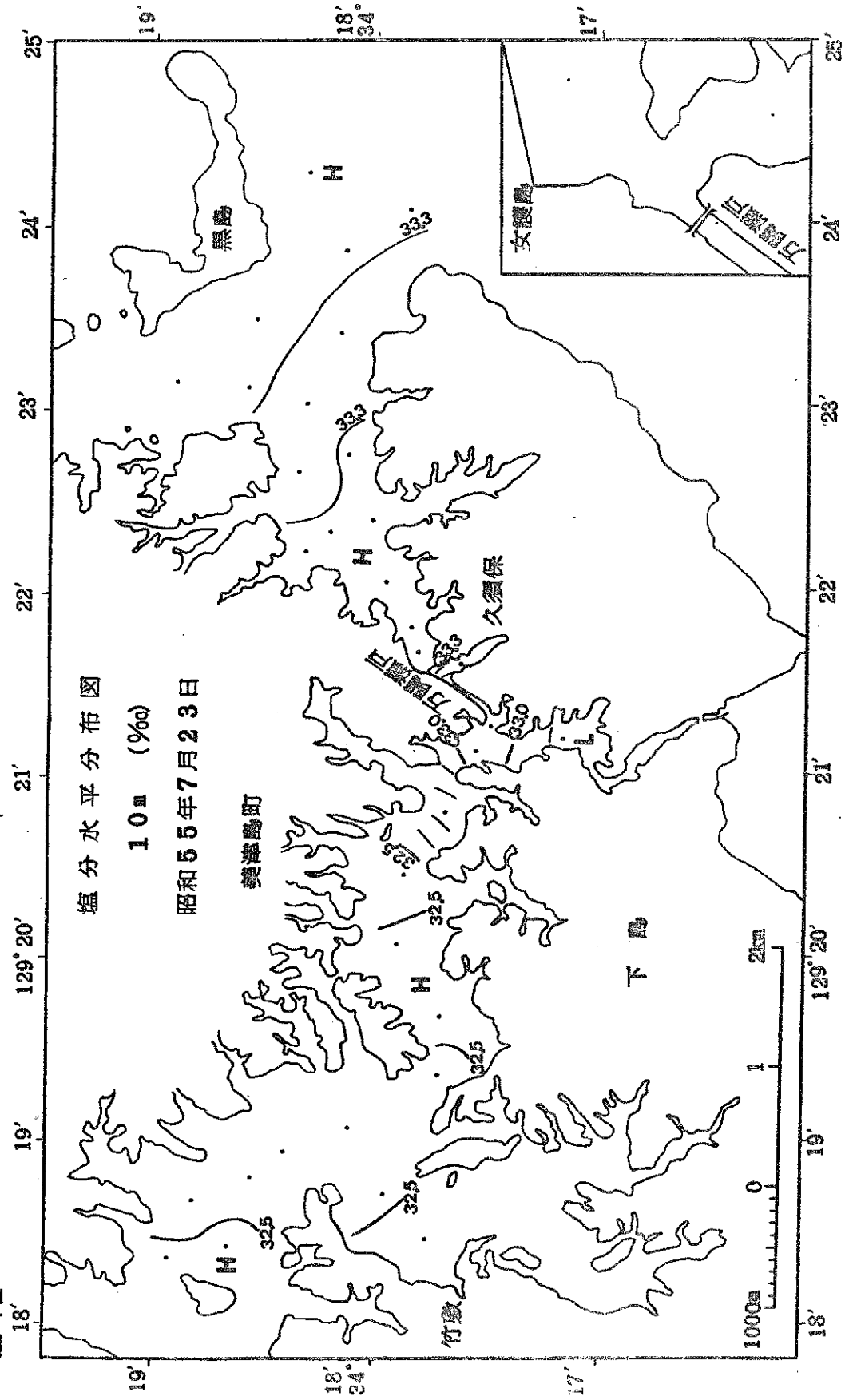


図 12



卷一

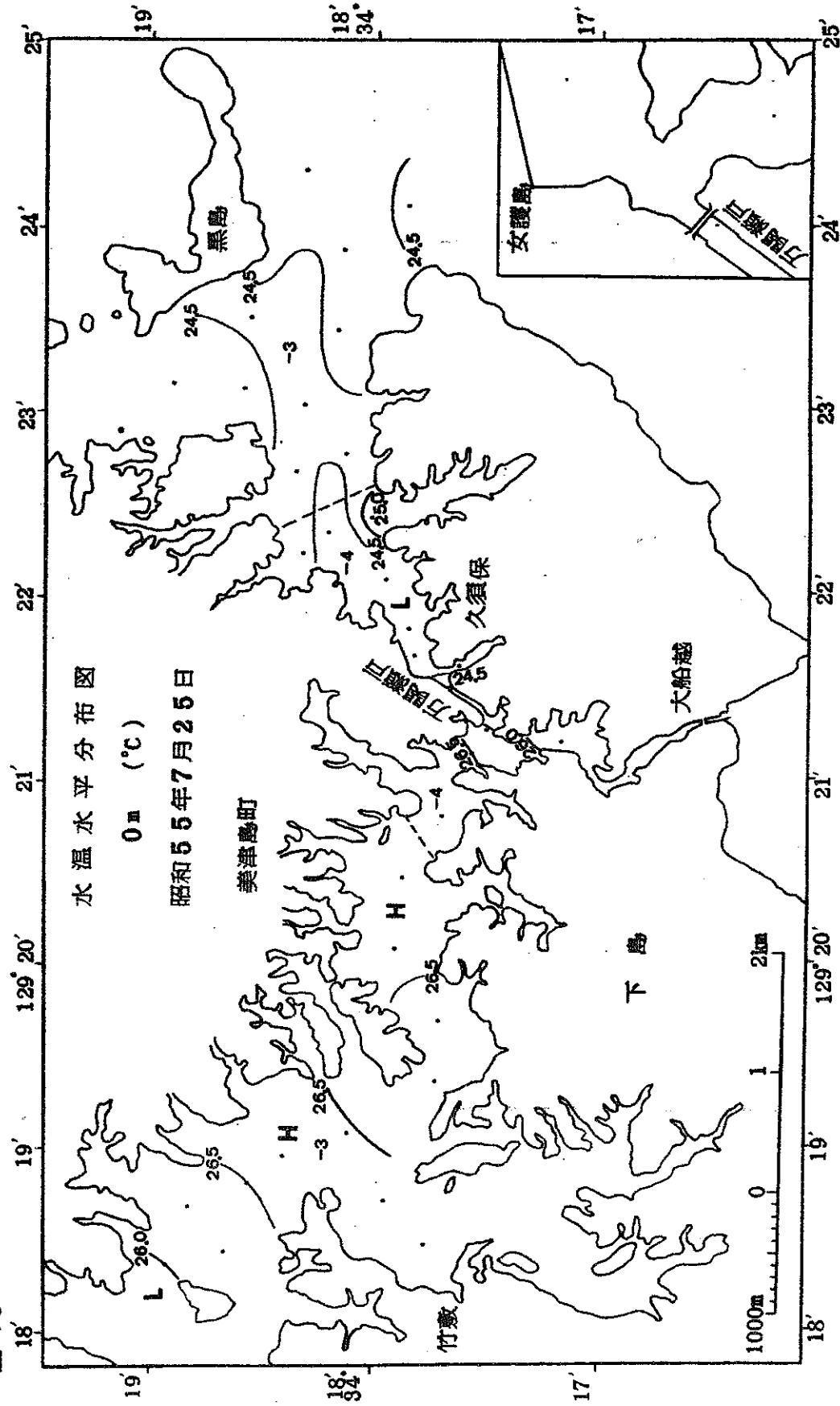


図 14

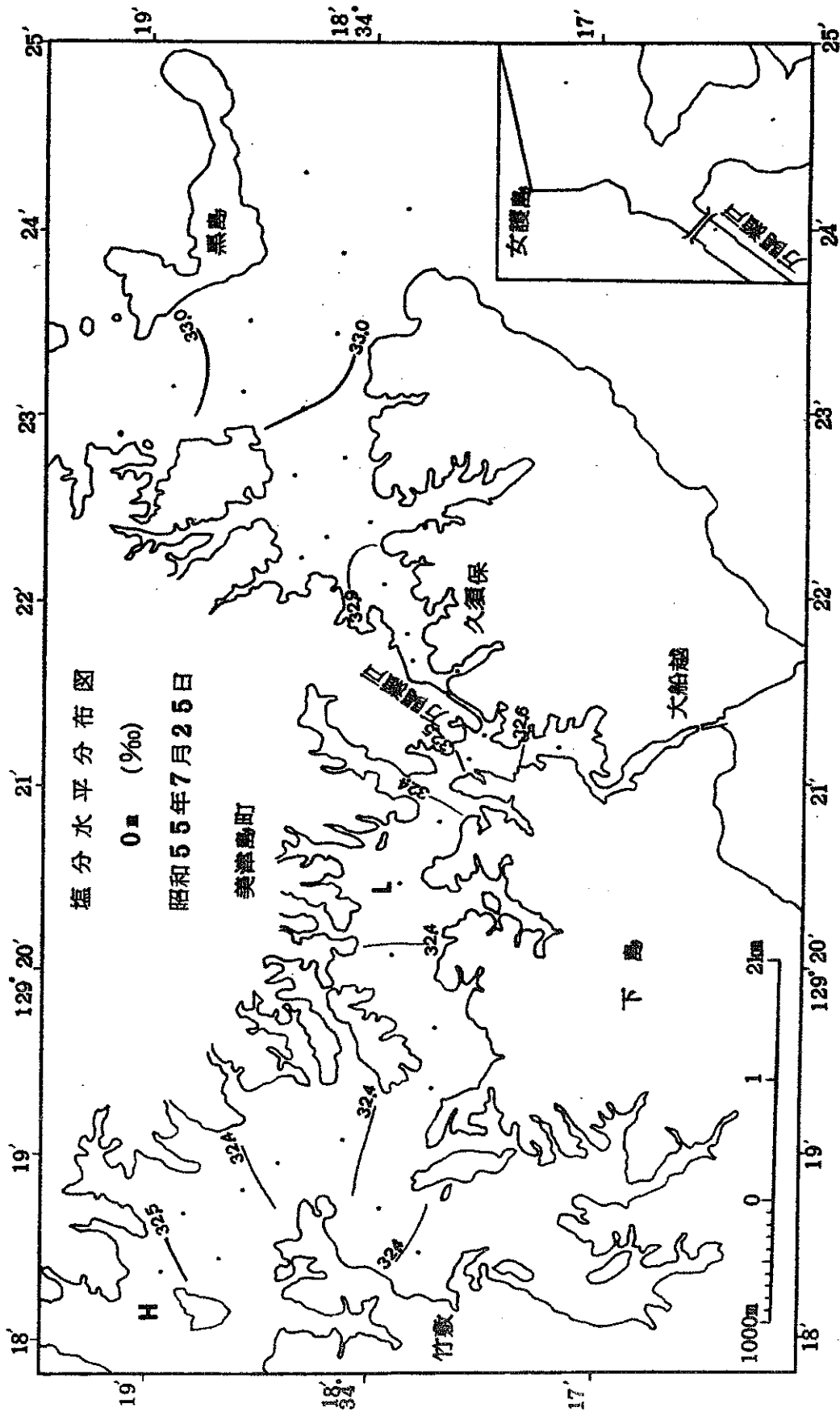


図 15

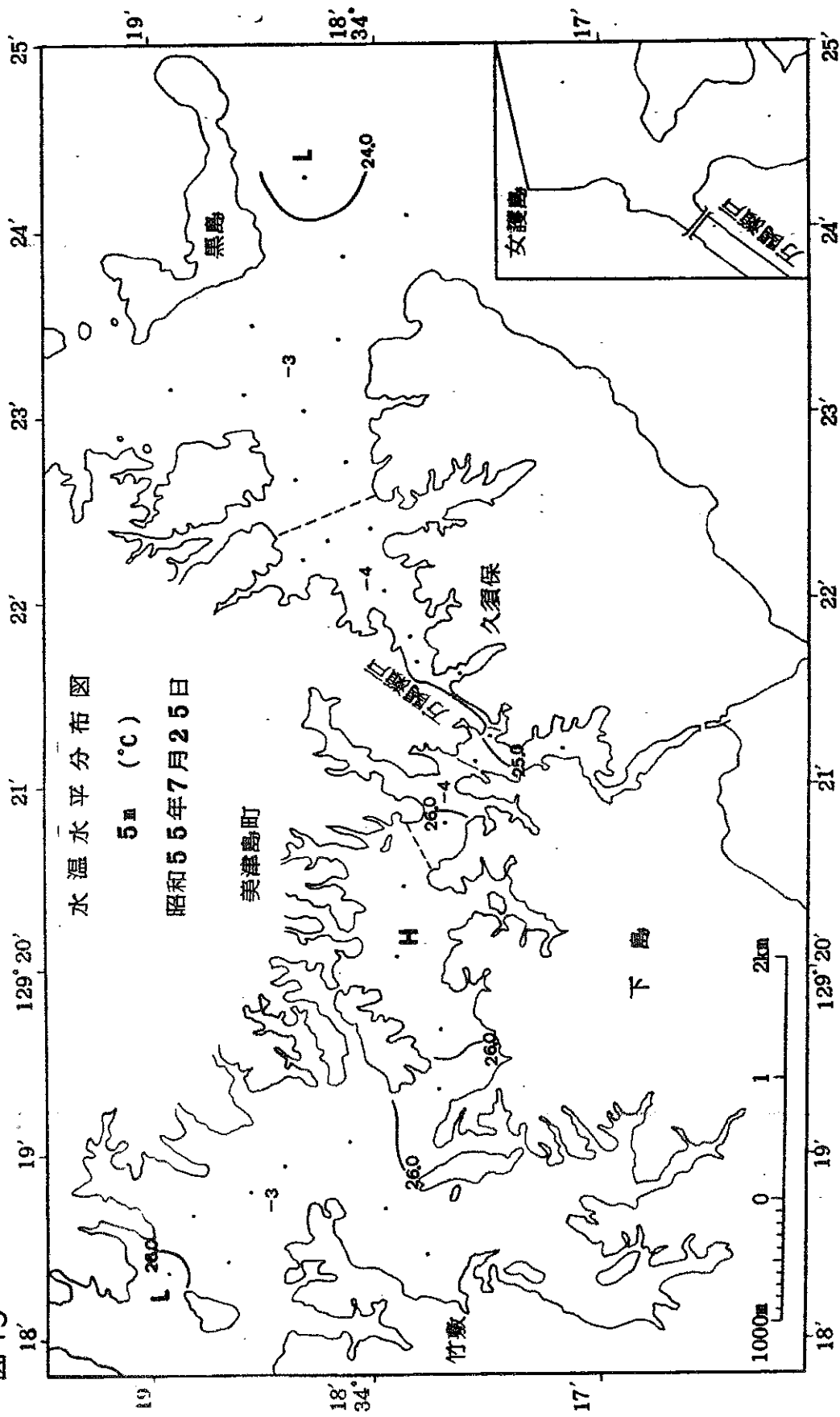


図 16

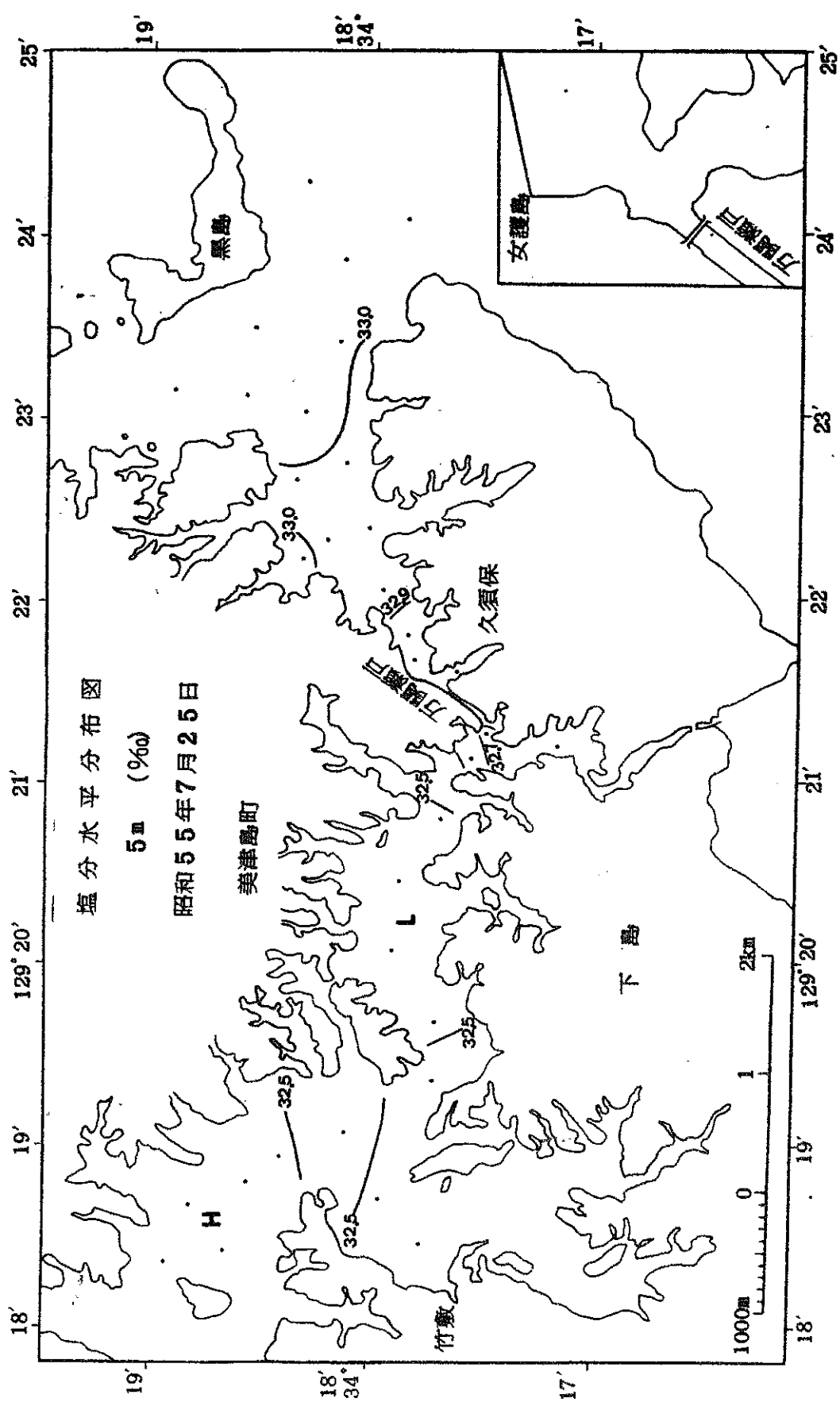


図17

海象観測値の日変化

測点：5

昭和55年7月24日

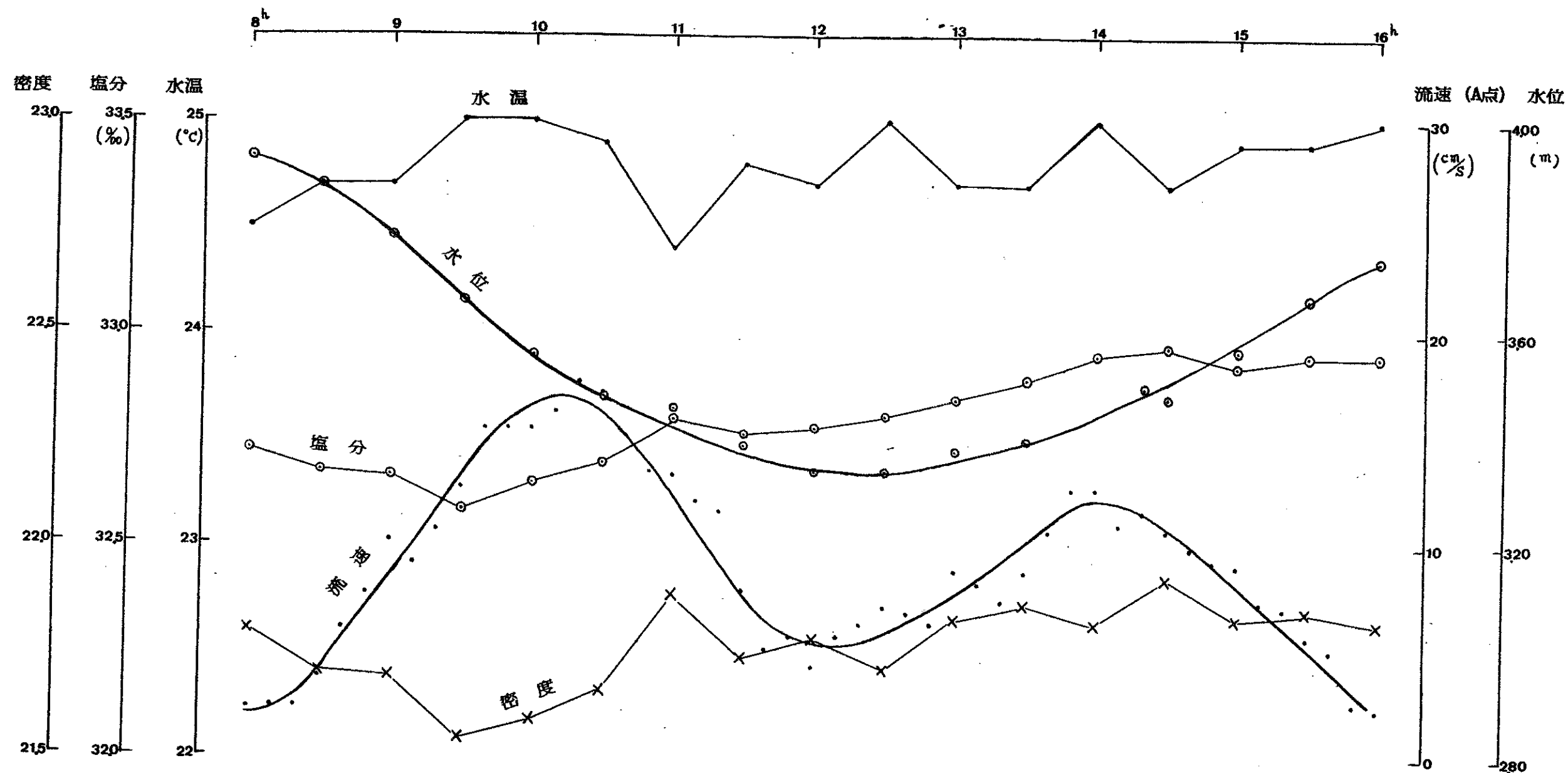
流速は測点Aを使用
水位は副標

図 18

海象観測値の日変化

測点 : C

昭和55年7月24日

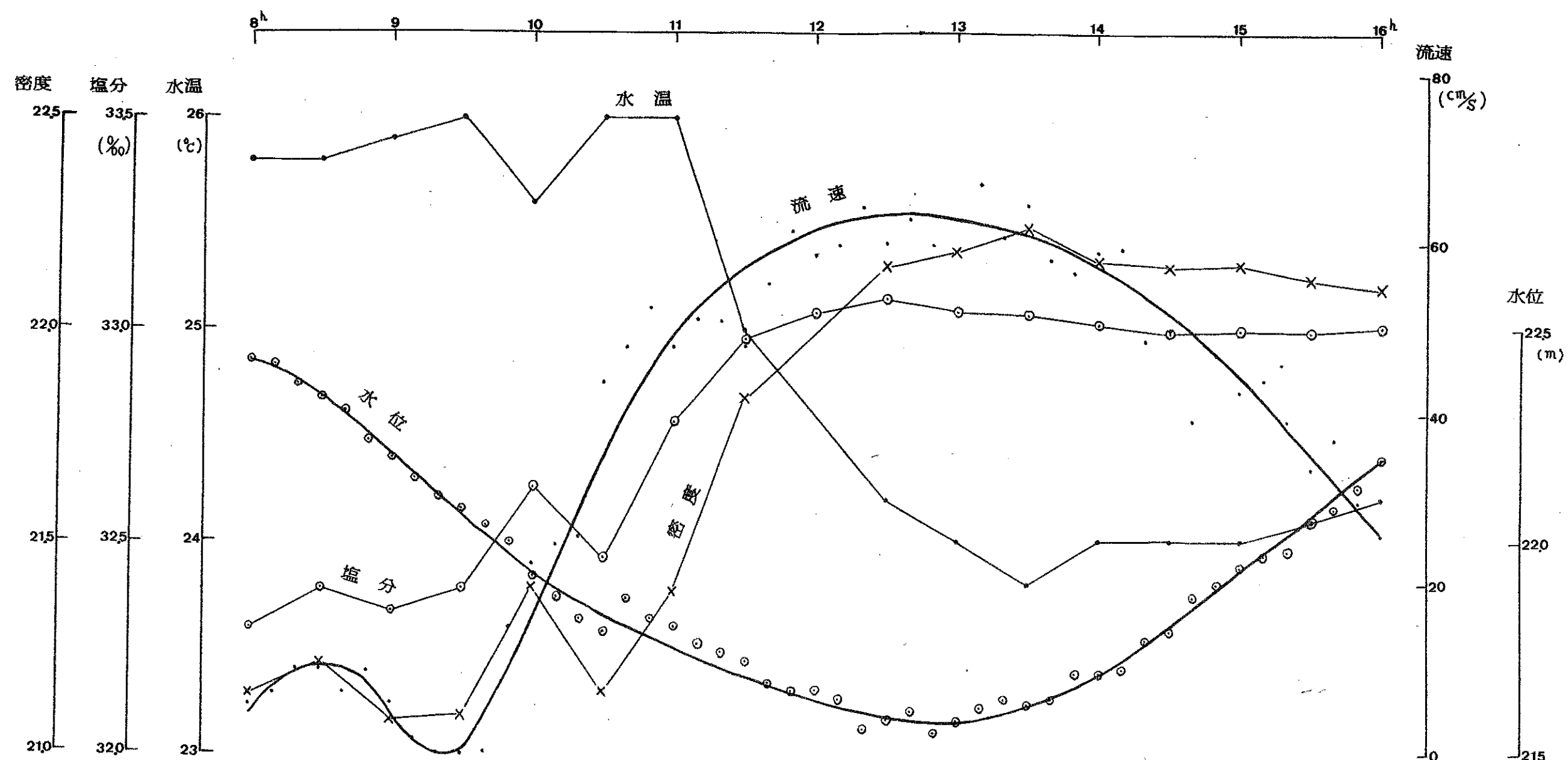


図 19

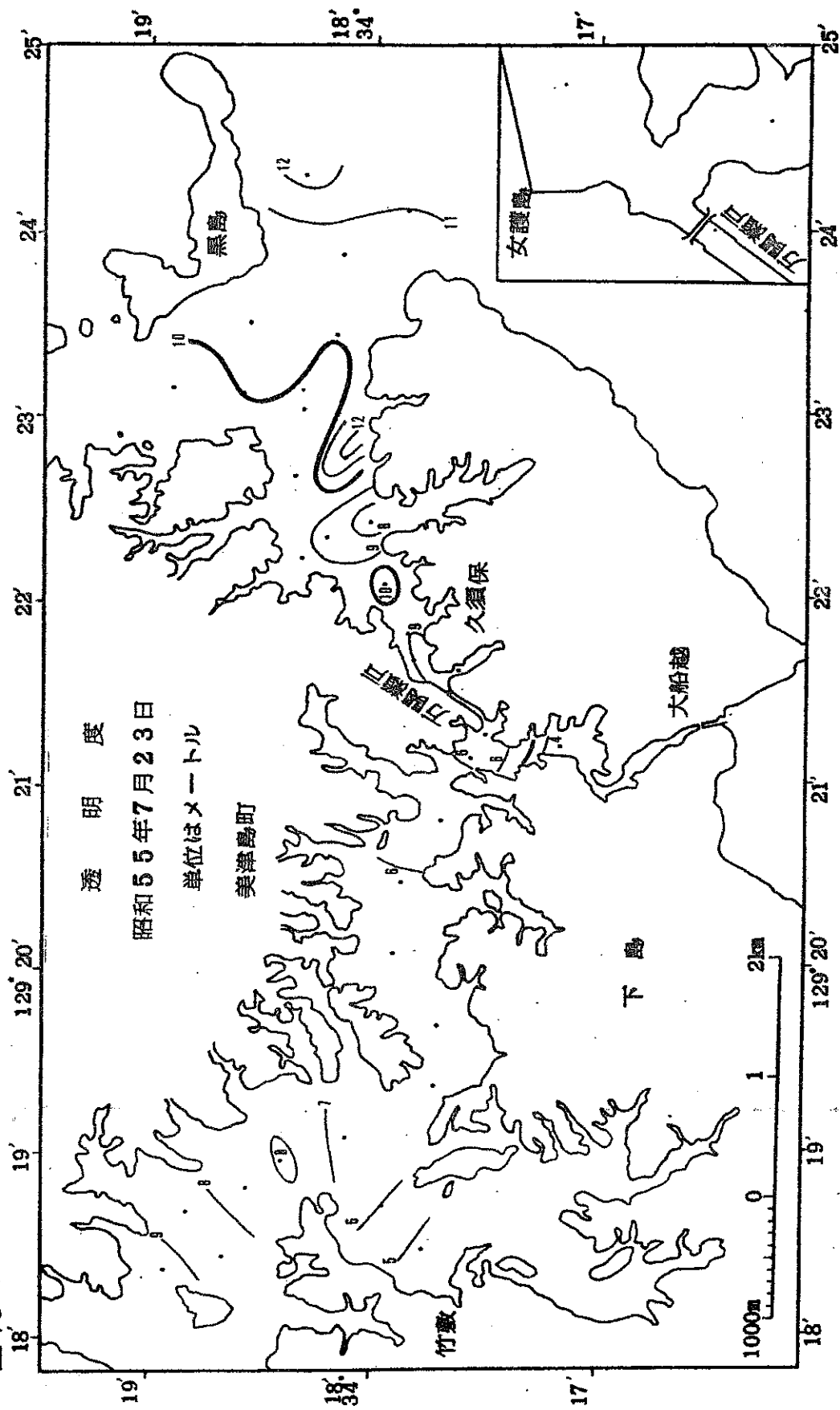


図 20

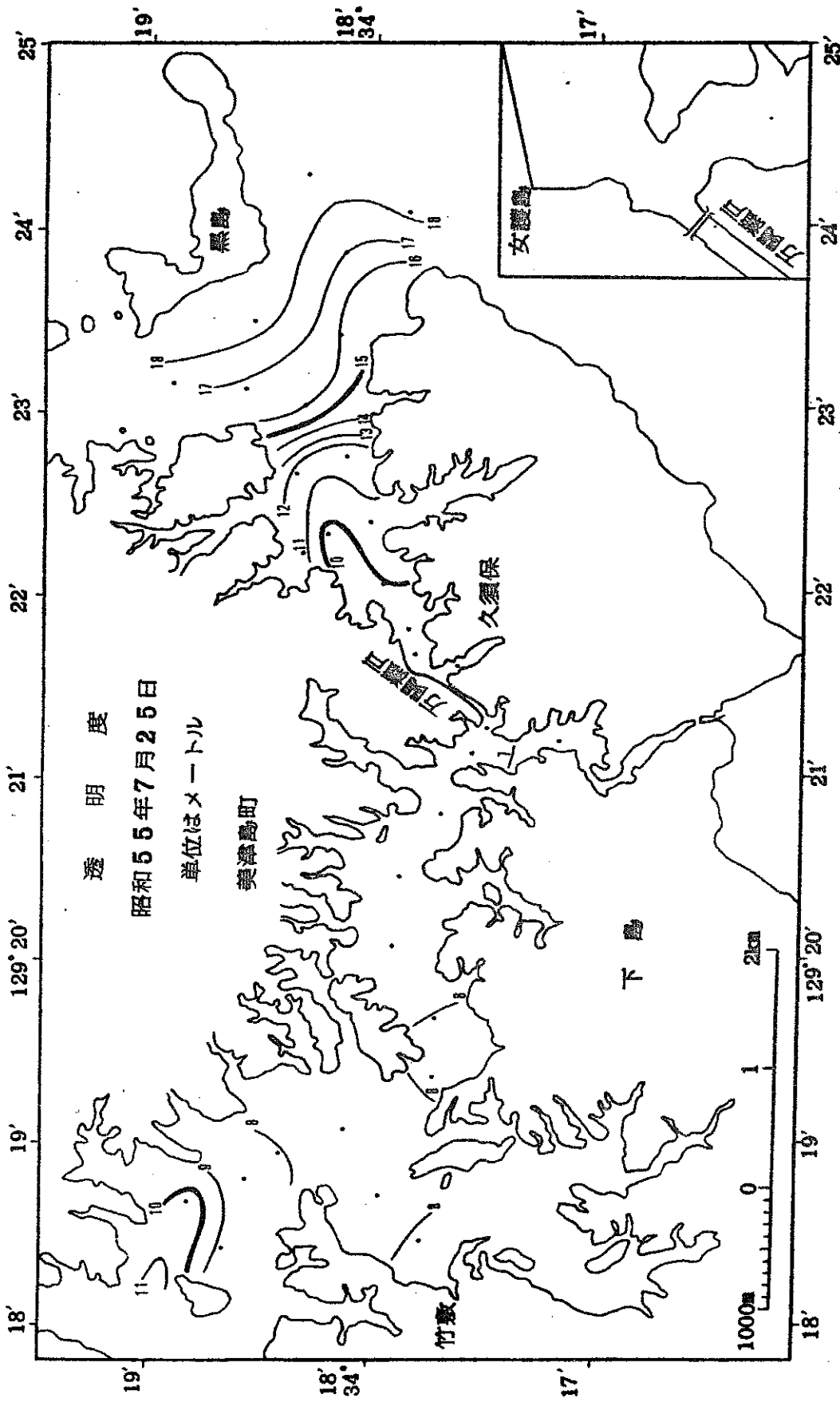


図21

万 関 濱 戸 通 航 船 量 調 査

— 東航船
— 西航船

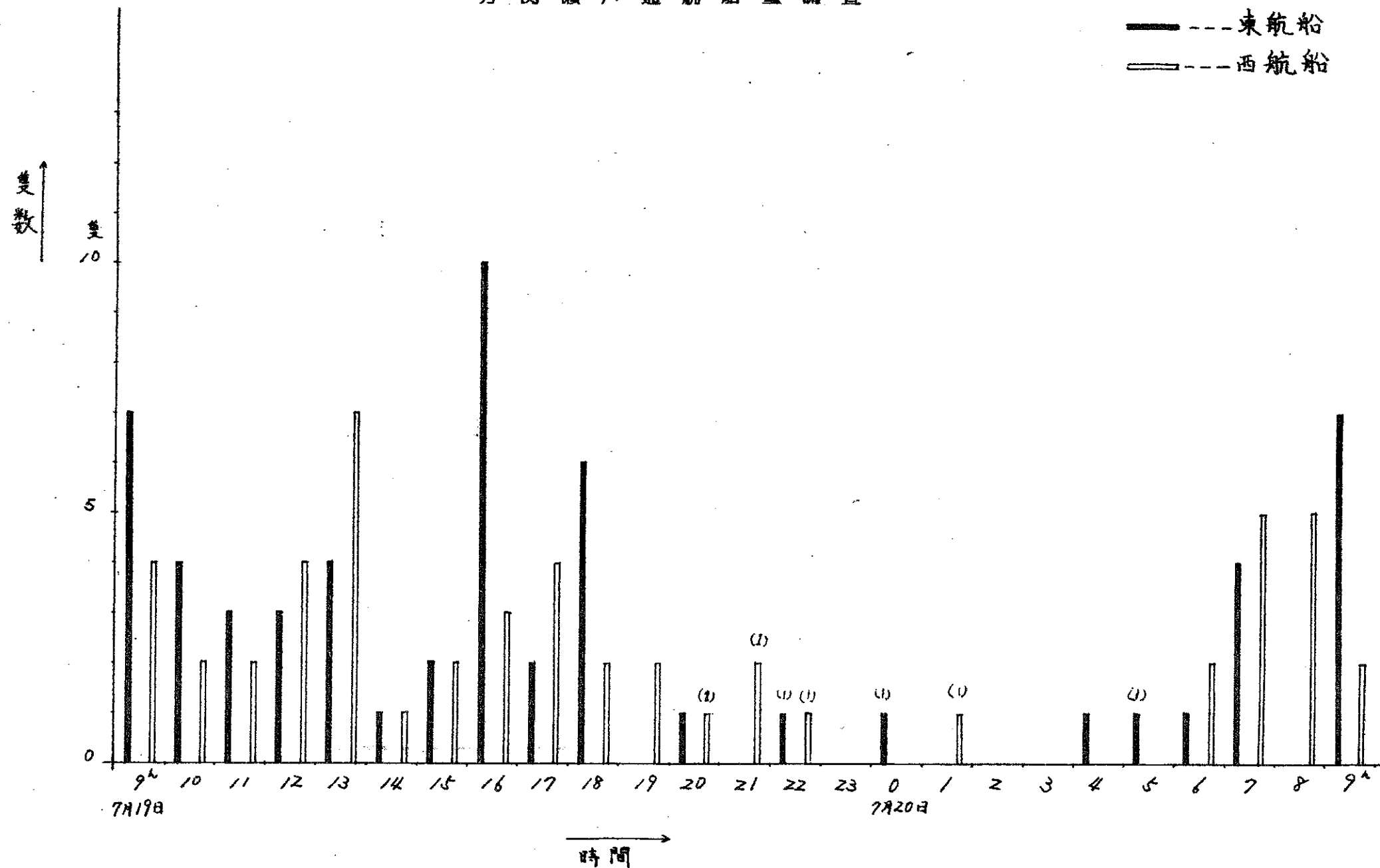


図22

万関瀬戸及び大船越瀬戸の断面図

万 関 瀬 戸

略最高高潮面	+ 0. 95
平均水面	0
略最低低潮面	- 0. 95

海 底

大 船 越 瀬 戸

略最高高潮面	+ 1. 20
平均水面	0
略最低低潮面	- 1. 20

海 底